

أسامة محمد عبد الرحمن
2001/1/16

تصميم وتصنيع نماذج ريش توربين رياح

وإجراء الاختبار عليها

Design and Manufacture of wind turbine blades models
and testing them
إعداد

هاني حسن موسى الحسن

ياسر عثمان مصطفى النقر

مشروع تخرج كمطلوب تكميلي لنيل درجة البكالوريوس

في الهندسة الميكانيكية

Osama Mohammed Elwardi Suleiman
Mechanical Engineering Department
Faculty of Engineering and Technology / Atbara
Nile Valley University

قسم الهندسة الميكانيكية

كلية الهندسة والتقنية

جامعة وادي النيل

يناير ٢٠٠١م

الإهداء

إلى أمهاتنا

إلى آباؤنا

إلى كل من علمنا حرفاً

إلى كل من ساعد أو أشرف وشارك في

تنفيذ أو تخطيط هذا المشروع

لكم جميعاً نهنئ هذا العمل المتواضع

شكر و عرفان

إلى كل من أسهم في إنجاح هذا المشروع والشكر أولاً إلى

الأستاذ / أسامة المرصي

الذي لم يدخل علينا بأي معلومة مني ما طلب منه ذلك .

كما نخص بالشكر السادة / معهد أبحاث الطاقة (سوبا)

الذين كان لهم عظيم الأثر في مدنا بكل المعلومات المنفردة

لديهم وتسهيل مهمتنا ، حيث كانت مكنبتهم مناحة لنا في جميع

الأوقات .

كما لا ننسى بالشكر السادة / مختبر الماكينات الكهربية

بقسم الهندسة الكهربية والإلكترونية بالكلية .

و الشكر موصول لجميع العاملين بورش الكلية لتعاونهم

النام معنا .

فلهم منافق الشكر والعرفان .

وجزاها لله خير الجزاء

الفهرست

رقم الصفحة	الموضوع
II	اهداء
III	شكر وعرفان
IV	فهرست المحتويات
V	ملخص
1	الفصل الاول : المقدمة
1	1.1 خلفية تاريخية
1	1.2 تطور استغلال طاقة الرياح فى العالم
5	1.3 استغلال طاقة تيارات الرياح فى السودان
7	الفصل الثانى : نظرية الجسيمات الهوائية
7	2.1 تعريف الجسم الهوائى
8	2.2 مصطلحات الجسم الهوائى
9	2.3 المتغيرات الهندسية
9	2.4 انواع الجسيمات الهوائية
10	2.5 توليد قوى الرفع والسحب
12	الفصل الثالث : نظريات اساسية عن توربينات الرياح
12	3.1 نظرية بيتز
	3.2 القوة الايروديناميكية المؤثره على جناح متحرك
15	تحت تأثير الضغط الجوى
15	3.3 ضغط الهواء فى السطح الخارجى لجناح غير منتظم
17	3.4 تغير المعاملات الايروديناميكية للرفع والسحب
18	3.5 ملاحظات عامه حول نظرية بيتز
	الفصل الرابع : تصميم نماذج الريش وجهاز الاختبار
20	واجراء الاختبارات
20	4.1 تصميم نماذج الريش
24	4.2.1 وصف جهاز الاختبار

24	4.2.2 عمل الجهاز
24	4.2.3 تغيير زوايا الريش
25	4.2.4 قياس القدرة
25	4.3 اجراء الاختبارات
26	الفصل الخامس : القراءات والنتائج
26	5.1 القراءات
28	5.2 عينة من كيفية اجراء الحسابات
28	5.3 النتائج
28	5.4 التعليق على المخططات وتحليل النتائج
30	الفصل السادس : الخاتمة والتوصيات
30	6.1 الخاتمة
30	6.2 التوصيات
31	المراجع
	الملاحق
32	(أ) ملاحق مدرجات بيانية
40	(ب) ملاحق صور الفصل الاول
43	(ج) ملاحق جداول التصميم
46	(د) ملاحق صور النماذج وجهاز الاختبار
50	(هـ) ملاحق جداول نتائج القراءات
51	(و) ملاحق منحنيات نتائج القراءات

المخلص

هذا البحث هو سلسلة متصلة من البحوث التي يتم تنفيذها بكلية الهندسة والتقنية عطبرة لمحاولة الاستفادة من الطاقة المتجددة (Renewable Energy) المتاحة بهدف تحويلها إلى شكل مناسب يتناسب مع حاجات الإنسان الأساسية .

الفصل الأول من هذا البحث يحتوي علي مقدمة تتناول خلفية تاريخية لاستغلال طاقة تيارات الرياح في تشغيل محطات توليد القدرة علي مستوي العالم والسودان ، وعند نهاية هذا الفصل تم حصر الأهداف الأساسية لهذه الدراسة . الفصل الثاني يشرح نظرية الجسيمات الهوائية (aero foils) ويُعرِّف المصطلحات العلمية المتعلقة بها . أما الفصل الثالث فيتعرض للنظريات الأساسية لتوربينات الرياح وملاحظات حول هذه النظريات . الفصل الرابع يتطرق لتصميم النماذج موضوع الدراسة وجهاز الاختبار المستخدم وخطوات إجراء الاختبارات بينما الفصل الخامس يوضح القراءات التي يتم الحصول عليها والنتائج المستخلصة خلال جداول ، مخططات وعينة من كيفية إجراء الحسابات وتحليل هذه النتائج . أما الفصل السادس فيتضمن الخاتمة والتوصيات التي تبرر استخدام مثل هذا النوع من مقاطع الريش ويعطي توصيات خاصة بتطوير هذا التصميم . الملحق الذي يتم تقديمه عند نهاية هذا البحث يحتوي علي جداول ، مخططات وصور فوتوغرافية خاصة بالنماذج التي يتم إجراء الاختبارات عليها وجهاز الاختبار .

الفصل الأول

1.0 المقدمة

1.1 خلفية تاريخية :

زيادة استهلاك مصادر الطاقة سنة تلو الأخرى بعد الثورة الصناعية التي عمت العالم قبل أكثر من قرن ونصف القرن هدد بنفاذها خاصة بعد اختراع الآلات والماكينات الحديثة والتي تبعها البحث عن مصادر الطاقة مثل الزيوت المواد المعدنية الأخرى والتسابق المحموم في محاولة امتلاك الأشكال المتاحة من الطاقة بأي وسيلة ومحاولة تحويلها إلى منتجات أو خدمات لرفاهية الإنسان ، هذا التسابق الجنوني شجع العلماء والباحثين لعمل لكل ما في وسعهم لإنقاذ موارد العالم المحدودة .

وهكذا فانه قد تم توجيه البحث العلمي ناحية إيجاد مصادر أخرى للطاقة تكون مستمرة وأبدية مثل الطاقة المتجددة التي تشمل طاقة الشمس ، تيارات الرياح ، الغازات الحيوية ، الحرارة الكامنة في باطن الأرض وطاقة تيارات المياه وغيرها . هذه الأشكال من الطاقة يمكن الاستفادة منها بتكلفة تشغيل صغيرة جدا (تقريبا معدومة) لحل مشاكل الطاقة كليا أو جزئيا في بلدان عديدة خلال هذا العالم . ولكن المشكلة الآن تكمن في التكاليف الإنشائية المتصاعدة لإنشاء وحدات التحويل التي بمقدورها تحويل هذه الطاقة الخام إلى أشكال مفيدة .

طاقة تيارات الرياح هي من إحدى أنواع الطاقة المتجددة التي تتسم بالاستمرارية والديمومة والتي يمكن استخلاصها والاستفادة منها في كثير من التطبيقات الهندسية التي تحتاج لقدرة بسيطة مثل تشغيل طلمبات صغيرة الحجم لري حيازات صغيرة أو توليد قدرة كهربائية لإضاءة المنازل وغيرها .

1.2 تطور استغلال طاقة الرياح في العالم :

إنشاء حالة الرياح نتيجة لتغير درجة حرارة الهواء عند ملامسته الأرض فهو يبرد ليلا ويسخن نهارا وذلك للتباين في مقدار الطاقة الشمسية والضغط بين المناطق المدارية والمناطق القطبية في العالم . فتختلف سرعة الرياح كثير من مكان لآخر فهي في بعض الأحيان تكون علي هيئة نسمة لطيفة

وفي بعضها الآخر تزداد سرعتها زيادة كبيرة قد تصل إلى حد العاصفة أو الإعصار . وقد وضع أميرال بريطاني عاش في القرن التاسع عشر ويدعي السير فرانسيس بوفورت مقياس تقريبي للرياح علي أساسه قيست قوة رفع الرياح لاشرعة السفن الشراعية المستعملة في ذلك الحين وعرف باسم مقياس بوفورت لسرعة الرياح ومازال مستعملا حتى اليوم .

الرياح ذات السرعة 46 km/h الى 62 km/h التي تؤدي إلى انكسار أطراف فروع الأشجار لا تصلح للاستخدام في الطاقة لما تحدثه من خراب ودمار ، ويجب عند اختيار الإمكان التي تقام عليها التجهيزات لاستخدام طاقة الرياح مراعاة ان تكون مناسبة ولها صفة الدوام طول العام .

وقد ثبت في بعض الدراسات التي أجريت في هذا المجال ان سرعة الرياح في منطقة العوينات تبلغ في المتوسط ثمانية أمتار في الثانية أي 30 km/h وهي سرعة مناسبة تكفي لتوليد قدر من الكهرباء من مراوح كهربائية قطر كل منها نحو عشرين مترا حيث يمكن عن طريقها استخراج المياه من الآبار الارتوازية لري نحو 250000 فدان من الأراضي القابلة للزراعة في هذه المناطق .

كذلك من بعض الدراسة التي قام بها فرق مكلف من وزارة الطاقة المصرية ان بمنطقة خليج السويس سرعات هواء عالية قد تصل قدرتها إلى حوالي 1000 MW وهي تعادل محطة قدرة توربينية كبيرة .

وهناك مشروعات لتوليد الكهرباء واستخراج المياه من باطن الأرض في راس غاب ، الفردقة ولصناعة الثلج المجروش بأسوان . ومن المنتظر ان يتسع مجال استخلاص طاقة الرياح لتوليد الكهرباء واستخراج المياه من باطن الأرض في كثير من البلدان . حيث ان هذه المحطات قليلة التكاليف ويمكن تصنيع كثير من أجزائها محليا وكل ما تتطلبه مرور رياح متوسطة السرعة طوال العام . وفي هولندا استخدمت سرعة الرياح في تحريك طواحين الهواء التي أقيمت علي ساحل البحر واستعملت فيها مراوح ضخمة تحركها الرياح لتحرك بدورها الطاحونة الموجودة بقاع البحر .

المروحة التي قطرها 8 m تستطيع ان تنتج حوالي 3.2 KW من الكهرباء وهذا يكفي احتياجات المنزل العادي .
وتتميز هذه المحطات بعدم صدور ضوضاء لذا يمكن أقامتها قريبا من الوحدات السكنية بجانب أنها توفر من استهلاك الوقود وبالتالي تقلل من التكلفة الكلية للمولدات .

هنالك العديد من الدول أعدت دراسات وبحوث في طاقة الرياح وتم تطوير هذه الدراسات وتغيير التصميم في كل مرحلة حتى الوصول إلى التصميم الأمثل ويكون محتويا علي انظمه كمبيوترية لتحديد السلوك الايرونميكى والديناميكى لتوربينات الرياح . وارتباط هذا السلوك مع المعلومات التصميمية المتوفرة متن العمل العملي لتوربينات الرياح أدى إلى تطور سريع ، وعلي وجه الخصوص برنامج طاقة الرياح المقدم من الولايات المتحدة الأمريكية عام 1973م والذي قدم أول نتيجة ملموس ومرئية بالقرب من CLEVELAND بولاية OHIO عام 1975م وهذا التوربين (MODO) والذي له قطر 38 m وریشتان وهو توربين رياح ذو محور أفقي ، وذو قدرة تصل إلى 100 KW .

وتبع هذا النوع أربعة أنظمة مشابه تدعي (MOD OA) (ملحق شكل رقم (1.1) والتي شيدت في مواقع بين (HAWAII) و(PUERTO RICO) بين الأعوام 1977 و 1980م وأيضا لها قطر 38 m . وتم تشييدها في مواقع ذات سرعة رياح عالية بغرض زيادة القدرة إلى 200 KW .

توربينات الرياح تعمل بالكامل دون الحاجة للمراقبة وذلك باستخدام معالج دقيق للتحكم ، عندما تكون سرعة الرياح كبيرة تعطي اكبر قدرة خارجة مع مراعاة التوافق الذي يحدث في المنظومة ، وأيضا يعمل نظام المؤشر أو الدليل الأوتوماتيكي للدوار بمواجهة الرياح والتوقف الأوتوماتيكي عندما تكون سرعة الرياح عالية أو منخفضة جدا أو هنالك خطأ قد حدث ، كل هذه الأنظمة أدت إلى التطور السريع لتوربينات الرياح .

في عام 1981م اكتملت المحاولات لإنتاج توربين رياح كبير يقوم بتوليد 2.5 MW بقطر 91 m ومكون من خمس توربينات (BOEING MOD2) موضح في الشكل (ملحق 1.2) .

هذه التوربينات احتوت على بعض التطورات مثل تقليل الوزن والتكلفة حيث أمكن اختيار برج ذو وزن خفيف وتكلفة أقل.

وهناك العديد من التوربينات أكملت بعد عام 1980م منها (WTS3, WTS4) التي صنعت عن طريق - شركة (HAMILTON- STANDEARD) U.S بالتعاون مع شركة سويدية ، وهي اختصار ل (WIND TURBINES SYSTEMS) ، ولها قطر 78 m وذات محور أفقي وریشان صنعنا من مركبات الألياف الزجاجية (FIBER GLASS) ، والتي أنتجت قدرة مقدارها 4 MW .

يتم في اغلب الأحيان صنع التوربينات من ریشان ولكن الدوار ذو الثلاث ريش أثبت كفاءة عالية ، تم ملاحظة ذلك في التوربين ذو القطر 56 m والذي صمم عن طريق شركة (MAN) عام 1989م . واستمر التطور في التوربينات الكبيرة ذات المحور الأفقي ، ففي المملكة المتحدة شيدت مجموعة طاقة الرياح توربين ذا قطر 60 m له ریشان أنتج 3 MW وأيضاً شيدت المجموعة توربين رياح ذا حجم صغير نسبياً له قطر 25 m أنتج 250 KW وله ثلاث ريش حيث أنشئت منه 20 توربين في كاليفورنيا لوحدها في عام 1986م.

نجد ان التطور الذي حدث في توربينات الرياح في الدانمارك ونيوزيلندا اخص بالمقاسات المتوسطة والتي لها قطر يتراوح بين 10 m وحتى 20 m كما موضح في الشكل (1.3) لها قطر 15 m وقدره مقدارها 55KW .

كما ان هنالك أيضاً استغلالاً للتوربينات المتوسطة في الولايات المتحدة حيث تم إنشاء حقول في ولاية كاليفورنيا كما موضح في الشكل (1.4) و (1.5) .

نلاحظ ان التوربينات في الشكل (1.5) عبارة عن توربينات رياح ذات محور رأسي وقد بدأ تشييدها في عام 1970م في كندا ، ولكن التوربينات الكبيرة قد تم تشييدها منذ فترة طويلة حيث تم الحصول على 4MW عن طريق قطر

دوار مقداره 64 m وعند ارتفاع 94 m ولها سرعة دوران منخفضة حوالي 14 لفة في الدقيقة .

وقد تم تطوير النموذج الأول للتوربينات الراسية بواسطة شركة (AXIS WIND TURBINE LTD) حيث تم الوصول إلى قدرة مقدارها 130 KW مع قطر 25 m عام 1986م وتم تشييدها في (CARMARTHENBY) في ويلز الجنوبية (ملحق شكل رقم (1.6)).

يمكننا ان نحصل من التوربينات الراسية علي قدرة كبيرة مقارنة بالتوربينات الأفقية ، نجد انه مع قطر مقداره 200 m يمكن الحصول علي قدرة مقدارها 20MW .

نجد ان التطور مع مرور الزمن دائما في حالة تقليل في حجم المنظومة وزيادة القدرة الخارجة منها ، لتقليل التكلفة الكلية للمنظومة .

1.3 استغلال طاقة تيارات الرياح في السودان: -

استغلال طاقة تيارات الرياح بالسودان ضعيف جدا نسبة لضعف حركة الرياح ، حيث هنالك إحصاءات من محطة الأرصاد الجوية لمتوسط سرعة تيارات الرياح لمدن عديدة في السودان يمكن من خلالها تحديد المناطق التي يمكن ان تستفيد من هذه الطاقة . فنجد ان متوسط سرعة الرياح للأعوام من 1961 إلى 1992م في المدن المذكورة في الجدول أدناه كآلاتي :

متسلسل	المدينة	متوسط سرعة الرياح (m/s)
1	كريمة	3.57
2	الخرطوم	3.33
3	عطبرة	2.63
4	نيالا	3.20
5	الفاشر	2.37
6	ود مدني	3.13
7	القضارف	2.77
8	بور تسودان	3.00

ملحق مخططات إحصائية من صفحة (32) إلى صفحة (39) .

من المعلوم ان السودان يتأثر بالرياح الشمالية الشرقية الجافة في فصل الشتاء والرياح الجنوبية الغربية الرطبة في فصل الصيف ، تبعا لحركة الفاصل المداري شمالا أو جنوبا والذي يعتمد بدوره علي توزيعات الضغط الجو ودرجة الحرارة . ففي فصل الصيف مثلا يتحرك الفاصل المداري إلى أقصى شمال السودان أو الناحية الجنوبية لمصر مما يجعل المناطق أو جميع أنحاء البلاد جنوب الفاصل المداري عرضة للرياح الجنوبية الغربية الرطبة ، بينما يتحرك الفاصل المداري في فصل الشتاء إلى أقصى الجنوب مما يجعل المناطق التي تقع شمال الفاصل المداري متأثرة بالرياح الشمالية الشرقية الجافة .

من الجدول السابق يلاحظ ان سرعة الرياح في السودان ضعيفة جدا بحيث لا توجد جدوى اقتصادية أو فنية لاستغلالها لإنشاء محطات توليد ضخمة . ولكن يمكن اعتبار الولاية الشمالية وولاية الخرطوم والجزيرة بالإضافة إلى ساحل البحر الأحمر كأفضل مناطق في السودان تعطي سرعات نسبيا أفضل من غيرها لإقامة مشاريع صغيرة تعمل بتيارات الرياح مثل إنارة المنازل وغيرها.

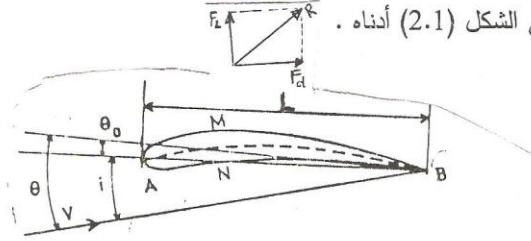
الفصل الثاني نظرية الجسيمات الهوائية

2.1 تعريف الجسم الهوائي :

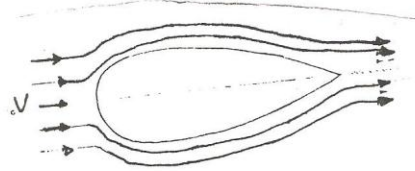
الجسم الهوائي هو عبارة عن جسم انسيابي يتم تصميمه لانتاج قوة رفع بأقل قوة للسحب . لجسم انسيابي مغمور في مائع مناسب ، نجد أن نقطة الانفصال تكون عند المؤخرة وهذا سيخفض قوة السحب على الجسم الانسيابي الى أدنى قيمة ، يمكن أن تكون قوة السحب الواقعة على الجسم الانسيابي حوالي 1/15 من السحب الواقع على اسطوانة بنفس السمك .

الشكل الاساسى والمهم في الجسم الانسيابي هو المسلوب البطئ للذيل ، كما

موضح في الشكل (2.1) أدناه .



الشكل (2.1)



الشكل (2.2)

2.2 مصطلحات الجسم الهوائى :

يمكن تعريف مصطلحات الجسم الهوائى من الشكل (2.1) كما يلى :

2.2.1 الحافة الامامية (Leading edge):

هى الحافة التى يمر بها الانسياب فى الاول ويطلق عليها فى بعض الاحيان الانف ، النقطة (A) وهى ابعد نقطة من (B).

2.2.2 الحافة الخلفية (Trailing edge):

هى النهاية البعيدة للجزء الخلفى للجسم الهوائى ، النقطة (B).

2.2.3 خط الوتر (Chord Line):

هو مستقيم يتم رسمه لوصل الحافتين A و B مع بعضهما البعض

2.2.4 خط التقوس (Camber Line):

هو الخط الذى يصل بين الحافتين A و B بحيث يمر خلال مركز المساحة للجسم الهوائى .

2.2.5 زاوية السقوط (Angle of Incidence):

هى الزاوية التى يصنعها خط الوتر للجسم الهوائى مع اتجاه انسياب المائع ويطلق عليها فى بعض الاحيان زاوية الهجوم .

2.2.6 زاوية الرفع الصفرية (Zero Lift Angle) (θ_0):

وهى الزاوية المحصورة بين الوتر وخط الرفع الصفرى .

2.2.7 زاوية الرفع (θ) (Lift Angle):

وهى الزاوية المحصورة بين خط الرفع الصفرى ومنتجه سرعة الهواء V عند أعلى الانسياب .

ونجد أن :

$$i = \theta + \theta_0$$

حيث أن θ_0 تكون سالبة ، و i قيمتها موجبة .

2.3 المتغيرات الهندسية (Geometrical Parameters) :

يتم تحديد خواص مقطع الجسيم الهوائي ببعض المتغيرات التي يمكن تعريفها

كما يلي :-

2.3.1 نسبة (t/c) :-

هي النسبة بين السمك الاقصى (t) وخط الوتر (c) .

2.3.2 نسبة (x/c) :-

هي النسبة بين موضع السمك الاقصى بعد الانف وطول الوتر (c) .

2.3.3 النسبة المئوية للثقبوس (Percentage Camber) :-

هي النسبة بين الثقبوس الاقصى وطول الوتر ويعبر عنها كنسبة مئوية .

2.3.4 النسبة المئوية لنصف قطر الانف (Percentage Nose Radius) :-

هي نصف قطر الثقبوس للانف بالنسبة لطول الوتر .

2.3.5 زاوية الحافة الخلفية (Trailing edge Angle) :-

هي الزاوية بين السطوح العليا والدنيا عند الحافة الخلفية .

2.4 أنواع الجسيمات الهوائية :-

يمكن تصنيف الجسيمات الهوائية عموما الي نوعين رئيسيين هما : جسيمات

هوائية متماثلة وجسيمات هوائية غير متماثلة .

2.4.1 الجسيمات الهوائية المتماثلة (Symmetric Aerofoils) :-

الشكل الاساسي لهذا النوع هو ان خط الثقبوس يتطابق مع خط الوتر . من النادر

استخدام هذه الجسيمات الهوائية ، لاننا لايمكن ان نتحصل على قيم رفع اعلى وقيم

سحب ادنى بانواع اخرى من الجسيمات الهوائية . الشكل رقم (2.2) .

2.4.2 الجسيمات الهوائية الغير متماثلة (A symmetric aerofoils) :-

يمكن تحسين النسبة بين قوة الرفع وقوة السحب (F/F) باستخدام جسيمات هوائية غير متماثلة . وفي هذه الجسيمات فان خط التقوس لا يتطابق مع خط الوتر . النوع بسط للجسيمات الهوائية غير المتماثلة يسمى بالجسيمات الهوائية المقوسة حيث يكون خط التقوس عبارة عن قوس دائري . في الجسيمات الهوائية المقوسة يمكن تقويس الوجهين العلوي والسفلي في اتجاه واحد أو جعل الوجه العلوي مقوسا بينما الوجه السفلي مستقيما كما هو واضح في الشكل (2.3 a)، (2.3 b) .

2.5 توليد قوتي الرفع والسحب :-

إذا وضع جسيم هوائي في جدول من المائع المناسب فان خطوط السريان حول الجسيم الهوائي ستتحرف مسببة انخفاض في الضغط على السطح العلوي وزيادة له على السطح السفلي . نتيجة لهذا الاختلاف في الضغط ستتولد قوة يمكن تحليلها إلى مكونة موازية لاتجاه انسياب المائع معطية قوة السحب (F) ومكونة ثانية متعامدة مع اتجاه السريان الرئيسي معطية قوة الرفع (F_r) . شكل 2.1 .

قوتي السحب والرفع هاتين يمكن التعبير عنهما بدلالة القوة الديناميكية القصوى F_{max} والتي تعطي بالصيغة التالية :-

$$F_{\max} = \frac{1}{2} \rho V_r^2 A \quad (N) \dots\dots\dots(2.1)$$

حيث :-

$$\rho = (\text{kg/m}^3) \text{ كثافة الهواء}$$

$$V_r = (\text{m/s}) \text{ السرعة النسبية بين المائع المناسب والجسم}$$

$$A = (\text{m}^2) \text{ المساحة الاسقاطية على خط الوتر}$$

قوة الرفع تكون كالاتي :-

$$F_L = \frac{1}{2} C_L \rho V_r^2 A \quad (N) \dots\dots\dots(2.2)$$

و قوة السحب هي :-

$$F_D = \frac{1}{2} C_D \rho V_r^2 A \quad (N) \dots\dots\dots(2.3)$$

حيث :-

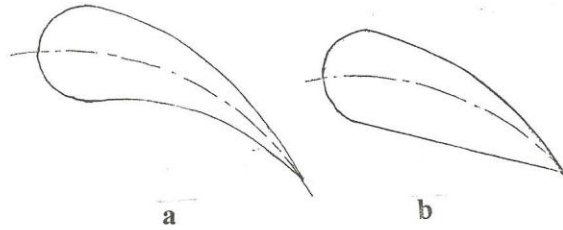
$$C_L = \text{معامل الرفع}$$

$$C_D = \text{معامل السحب}$$

النسبة (F_L / F_D) او (C_L / C_D) تعتمد على زاوية السقوط (i) وبعض المتغيرات الهندسية الأخرى .

افضل زاوية للسقوط هي التي تعطي أقصى قيمة لـ (C_L / C_D) . بزيادة زاوية السقوط من الصفر ، فان الضغط السالب يزداد على السطح العلوي للريشة خاصة في اتجاه الحافة الأمامية وبزاوية الرفع كلما ، وبالزيادة الاضافية لزاوية السقوط فان انفصال الانسياب ينتشر بسرعة فوق السطح ، وان الضغط السالب ينقص .

أداء أى ريشة لجسيم هوائي يمكن رسمها فى مخطط يوضح تغييرات معامل الرفع (C_L) ومعامل السحب (C_D) بزاوية سقوط (i) ، الشكل (3.4) يوضح التغييرات لـ (C_L) و (C_D) مع (I) .



الشكل (2.3)

3.0 الفصل الثالث

نظريات أساسية عن توربينات الرياح

الماكينات المستخدمة لإنتاج وتوليد الطاقة من الرياح يمكن أن تقسم أو تصنف في مجموعتين :-

أ - ماكينات المحور الرأسي (العمودي) vertical - axis machine

ب-ماكينات المحور الأفقي - horizontal axis machine

وعموما تهتم نظرية بيتز فيما يتعلق بماكينات الرياح ذات المحور الأفقي فيما تقيم ماكينات المحور الراسي عن طريق المقارنة مع القيم القصوى المأخوذة من معادلة بيتز . سيتم في هذا الباب توضيح القوة الأيرودينمكية التي تؤثر على ريش المحور الأفقي بنوعها :-

أ - الريش ذات المقطع الانسيابي

ب- الريش ذات المقطع المستطيل

1-3 نظرية بيتز :- Betz Theory

أول ظهور لنظرية توربينات الرياح كان عن طريق (أ .بيتز) من معهد جوتنغن .

افتراض بيتز أن دوار رياح حقيقي لا يحتوي على صره (HUB) ويحتوي على عدد لانهاثي من الريش ، كما أنه لا توجد أي مقاومة جر للهواء المار من خلالها . أي أنها عبارة عن عملية استخلاص تام للطاقة . لاحقا أضاف افتراض ظروف مساحة الهواء المكتسحة بواسطة الدوار منتظمة ، كما أن سرعة الرياح خلال الدوار تكون محورية تماما . نفترض الآن دوار رياح حقيقي " Ideal " في حالة سكون ثم وضع في هواء جوي متحرك ، كما في الرسم التالي :-

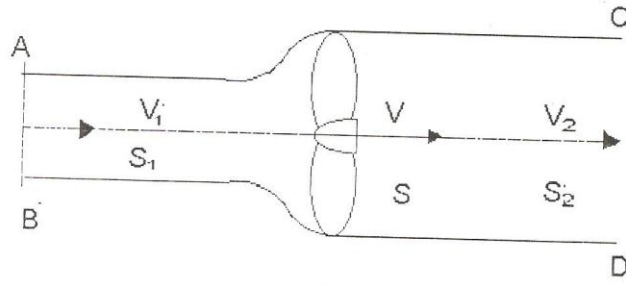


fig3-1

أفترض " V_1 " سرعة الرياح علي بعد مسافة معينة قبل الدوار .
 " V " سرعة الرياح التي تمر فعليا من خلال الدوار ، ونفترض أنها
 منتظمة علي طول المساحة S المكتسحة بواسطة الريش .
 " V_2 " سرعة الرياح بعد عبورها الدوار علي بعد معين منه .
 S_1 ، S_2 هما مساحة مقطع انسياب الهواء المار خلال الدوار اعلى وادنى
 الانسياب على التوالي .

عليه فإن الطريقة الوحيدة لاستخلاص طاقة ميكانيكية بواسطة الدوار تتم
 عن طريق تقليل طاقة حركة الهواء ، وبالتالي فإن $V_2 < V_1$ ، ويتبع هذا
 النقصان في السرعة زيادة في مساحة الرياح الموجهة نحو الدوار فتصبح
 $S_1 < S_2$.

إذا افترضنا أن الهواء غير قابل للانضغاط، معادلة الاستمرارية (ثبات
 الكتلة المارة) يمكن أن تكتب هكذا :-

$$S_1 V_1 = SV = S_2 V_2$$

القوة المنقولة إلي الدوار من الرياح يمكن أن تعطي من نظرية " أويلر "

$$F = \rho S V (V_1 - V_2) \dots \dots \dots (3.2) \quad \text{وهي :-}$$

$$\rho = (\text{Kg/m}^3) \text{ كتلة الهواء النوعية}$$

عليه فإن الطاقة الممتصة تكون :-

$$P = F V = \rho S V^2 (V_1 - V_2) \quad (3.3)$$

كما ذكرنا سابقا فإن هذه القدرة أخذت من طاقة الحركة .

التغير في طاقة الحركة يكون :-

$$T = 0.5 \rho S V (V_1^2 - V_2^2) \quad (3.4)$$

وبمساواة الصيغتين P، T نتحصل على الآتي :-

$$V = (V_1 + V_2) / 2 \quad (3.5)$$

عليه فإن القوة المنقولة إلى الدوار والقدرة المتولدة تعطي في الصيغتين

الآتيتين :-

$$F = 0.5 \rho S (V_1^2 - V_2^2) \quad (3.6)$$

$$P = 0.25 \rho S (V_1 + V_2) (V_1^2 - V_2^2) \quad (3.7)$$

لدراسة التغير في القدرة كمتغير في السرعة V_2 مع معلومية V_1 وعن

طريق التفاضل نجد أن :-

$$dp/dv_2 = 0.25 \rho S (V_1^2 + 2 V_2 V_1 - 3 V_2^2)$$

المعادلة :- $dp/dv_2 = 0$ لها حلان هما :-

الأول :-

$$V_1 = -V_2 \quad \text{وهذا لا يوجد له تفسير فيزيائي .}$$

الثاني :-

$$V_2 = V_1/3 \quad \text{وهذا يعني عند القدرة القصوى}$$

وبتعويض القيمة العملية لـ V_2 في صيغة القدرة " P " نتحصل على

القدرة القصوى المتولدة وهي :-

$$P_{\max} = 0.3 \rho S V_1^3 = 0.375 \rho S V_1^3 \quad (3.8)$$

خذ ρ كتلة الهواء النوعية هي 1.25Kg/m^3
وهذه الصيغة تعطي معادلة أو صيغة لينز وهي أوجدت وفقا لجميع
الافتراضات السابق ذكرها.

3-2 القوة الأيروديناميكية المؤثرة على جناح متحرك تحت تأثير الضغط الجوي:-

نفترض هنا أن الجناح "Wing" ثابت والهواء يتحرك بنفس سرعة الجناح
ولكن في الاتجاه المعاكس، فإن القوة الأيروديناميكية المؤثرة على الجناح تكون
نفس القوة في حالة سكون الهواء وتحرك الجناح .

هذه هي نظرية عمل النفق الهوائي "wind tunnel" حيث يتم تثبيت الجسم
المراد إجراء الاختبار عليه داخل النفق ثم يتم ضخ هواء بنفس مواصفات
وظروف الهواء الذي يتوقع أن يطير أو يتحرك فيه الجسم ، وبناء عليه يتم
معرفة مواصفات الجسم وخواصه من متانة وجساءة وغيرها .
من هنا نستخلص أن حركة الجسم في الهواء يمكن أن تؤخذ في شكل
حركة الهواء وثبوت الجسم .

القوة الممتصة بواسطة الجناح تعتمد فقط على السرعة النسبية للرياح
وزاوية الهجوم . ولشرح هذا التعبير دعنا نعتبر جناح ساكن في هواء متحرك
في مسار لا نهائي بسرعة V .

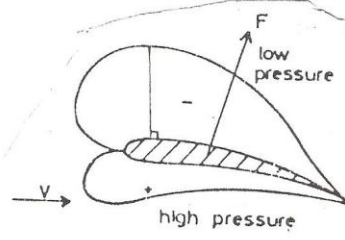
3-3 ضغط الهواء في السطح الخارجي للجناح غير منتظم :-

في السطح العلوي هنالك انخفاض في الضغط ، وفي السطح السفلي هنالك
زيادة في الضغط ولتوضيح هذا التغير في الضغط بيانيا ، دعنا نقوم برسم خط
متعامد على سطح المقطع لجزء بطول Kp :-

$$Kp = \frac{P - P_0}{0.5 \rho V^2}$$

P = الضغط الإستاتيكي في نقطة الأصل للخط المتعامد على السطح

حيث V, P_0, ρ هي الاحوال عند اعلى الانسياب اللانهائى التى هى احوال الانسياب غير المطرب البعيد من مقطع الشكل .
 بتوصيل حواف التقسيمات المتعدده لـ K_p نتحصل على المنحنى الممثل فى الشكل رقم (3.2) . تكون قيم K_p سالبه لنقاط السطح العلوى وموجبه لنقاط السطح السفلى .



الشكل (3.2)

محصلة القوى الاولية المتعددة التى تعمل على الجناح هى القوة F وهى عموما تكون مائله بالنسبة لاتجاه السرعة النسبية وتعطى بالتعبير التالى :-
 $F = 1/2 \rho C_r S V^2$ (3.10)

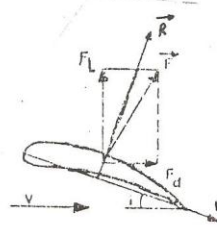
حيث :-

ρ = الكتلة النوعية للهواء .

S = المساحة المساوية لحاصل ضرب الوتر \times طول الجناح .

C_r = المعامل الايروديناميكي الكلى .

هذه القوة يمكن تقسيمها الى مركبتين كما موضح فى الشكل (3.3) .



الشكل (3.3)

بالتالى فان القوة الايروديناميكية علي مقطع الجسيم الهوائي يمكن تمثيلها بقوى الرفع ، السحب وعزم اللف . عند أي قيمة لزاوية السقوط ، ستكون هنالك نقطة معينة واحدة C يكون عزم القوي الايروديناميكية F حولها مساويا للصفر . هذه النقطة الخاصة تسمى مركز الضغط .

التاثيرات الايروديناميكية علي المقطع الانسيابي بقوى الرفع والسحب اللذين يعملان على تلك النقطة .

يتم تحديد مركز الضغط بالنسبة للحافة الامامية من العلاقة :

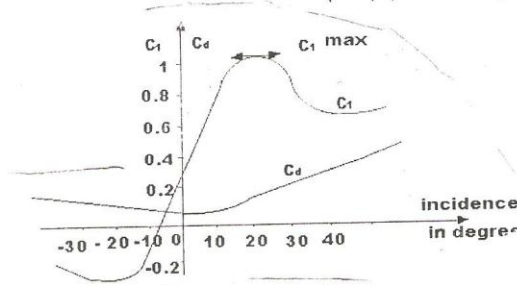
$$CP = AC / AB = X_L / L = C_m / C_L$$

عادة CP = 25% — 30%

3.3 تغير المعاملات الايروديناميكية للرفع والسحب :-

3.3.1 تغير معاملات الرفع والسحب بالنسبة لزاوية السقوط :-

يتم توضيح التغير كما في الشكل رقم (3.4)

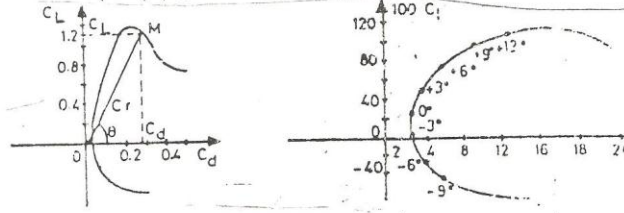


الشكل (3.4)

اعتبر اولاً تغير معامل الرفع ، حيث يتكون المنحنى الذى يمثله من خط مستقيم يتقوس عند القيمة العليا CL max ، عند زاوية سقوط i_M وهى تعرف بنقطة التثبيت . بعد نقطة التثبيت ، ينخفض معامل الرفع حيث ان الخط الذى يمثله يتقوس بزاوية سقوط سالبة . و C_L يمر خلال قيمة دنيا $C_L \min$.
منحنى التغير لمعامل السحب يكون مختلفا حيث يكون C_d عند أدنى قيمة له لقيمة معينة لزاوية السقوط .

3.3.2 تغيير معامل الرفع مع معامل السحب (Eiffel polar) :-

تغيير معامل الرفع بالنسبة لمعامل السحب يتم توضيحه في الشكل رقم (3.5)



الشكل (3.5) The Eiffel polar.

منحنى الخط المستقيم OM هو $\tan\theta = C_L/C_D$

عندما يكون OM مماساً لمنحنى C_L/C_D ، فإن $\tan\theta$ يكون عند قيمته القصوى و C_L/C_D يكون عند أدنى قيمة له .

منحنى التغيير عادة ما يتم تدريجه بقيم زاوية السقوط .

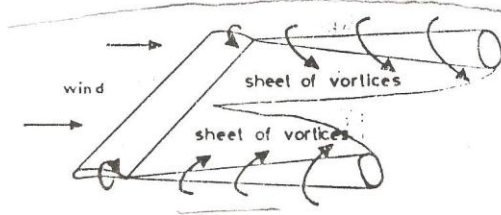
(3.4) ملاحظات حول نظرية بيتز .

طبقاً لنظرية بيرنولي ، فإن سرعة السريان فوق الجناح تكون أكبر وأسفله تكون أقل من الانسياب غير المضطرب بعيداً عن مقطع الجسم الهوائي . هكذا ، فن الانسياب حول الجسم الهوائي يمكن اعتباره كاتحاد بين نوعين مختلفين من الانسياب . النوع الأول يكون انسياباً متعامداً حول الجسم الهوائي عند خط رفع صفري عندما يتم وضع الجسم الهوائي في سريان منتظم . النوع الآخر يكون انسياباً حيث يدور الهواء حول الجسم الهوائي الى الامام على السطح السفلى والى الخلف على السطح العلوى . رفع الجسم الهوائي يكون مرتبطاً بالآخر ، كما في الشكل رقم (3.6) .



الشكل (3.6)

النتائج السابقة يتم تطبيقها فقط في أجنحة تمتلك أطوال غير محددة . وهذه النتائج يجب تصحيحها في حالة جناح محدود الطول . يكون الضغط على السطح السفلي لجناح رفع أكبر من الجو المحيط بينما يكون الضغط على السطح العلوي اقل . هكذا ، عند الحواف يميل الهواء للانسياب من السطح السفلي الى السطح العلوي . وتكون النتيجة هي خلق دوامات عند حواف الجناح . حقيقة ، هنالك دوامات عديدة صغيرة تظهر على طول الجناح بسبب تأثير الحواف . هذه الدوامات الصغيرة تقود لدوامتين كبيرتين على حواف الجناح . الشكل رقم (3.7).



الشكل (3.7)

النتيجة المترتبة لخلق هذه الدوامات هي زيادة قوة السحب . يحدث هنالك سحب حتى يضاف الى سابقة.

$$F_{di} = 1/2 \rho C_{di} S V^2$$

وهكذا فان معامل السحب يصبح :

$$C_d = C_{d0} + C_{di}$$

حيث C_{d0} هو معامل السحب لجناح غير محدد الطول .

للحصول على نفس معامل الرفع فان زاوية السقوط يجب زيادتها بالكمية θ .
بالتالي فان زاوية السقوط الجديدة للحصول على نفس الرفع هي :

$$i = i_0 + \theta$$

في ميكانيكا الموائع ، عندما تكون اعادة تقسيم للدورة اهليجي . يمكن توضيح ان C_{di} و θ تعطى بالعلاقات التالية :

$$C_{di} = (S/L^2) \cdot (C_L^2 / \pi) = C_L^2 / \pi a$$

$$\theta = (S/L^2) \cdot (C_L / \pi) = C_L / \pi a$$

حيث :

S هي مساحة الجناح .

L هو الطول .

a هي النسبة (L^2/S) .

الفصل الرابع

4.0 تصميم نماذج الريش وجهاز الاختبار واجراء الاختبارات

4.1 تصميم نماذج الريش :

يعتمد نوع الريش على الغرض من توربينة الرياح او طبيعة عملها كما يعتمد ايضا على سرعة الرياح . فمثلا اذا اردنا تركيب توربين رياح لتوليد طاقة كهربائية فى مكان به رياح ذات سرعة عالية ، فمن الافضل اختيار دوار رياح سريع وتكون له نسبة سرعة طرفية λ_0 فى المدى من 5 الى 8 وستكون الماكينة ذات ريشتين او ثلاثة ريش . اما اذا اردنا ضخ مياه فى مكان ريفى به رياح منخفضة او متوسطة السرعة ، يمكن استخدام دوار متعدد الريش مع نسبة سرعة طرفية تتراوح من 1 إلى 2 عمليا فان عدد الريش يعتمد على النسبة λ_0 وهى النسبة بين سرعة طرف الريشة وسرعة الرياح قبل الماكينة .

4.1.1 تصميم الريش ذات المقطع الانسيابي :-

يتم تحديد نسبة النموذج إلى الشكل الحقيقي بناءً على قطر جهاز الاختبار وهى نسبة 1 : 8 .

من الجدول (1) فى الملحقات وباستخدام الاستكمال يمكن تحديد قيمة N

$$N = 285 \text{ rpm}$$

$$\lambda_0 = \text{Tip Speed Ratio}$$

تم أخذ البيانات التالية من دياجرام مروحة ضخ الهواء :-

$$Q = 100 \text{ m}^3 / \text{min}$$

$$= 1.667 \text{ m}^3 / \text{s}$$

$$d = 0.5 \text{ m}$$

حيث :

Q هي معدل انسياب الهواء الحجمي

d هي قطر الدوار النموذج

ومنها يتم حساب مساحة المقطع A

$$A = (\pi/4) \cdot d^2 = (\pi/4) * 0.5^2 = 0.196 \text{ m}^2$$

وسرعة الانسياب V يمكن حسابها من معادلة الاستمرارية كالاتي :

$$V_1 = Q / A = 1.667 / 0.196 = 8.5 \text{ m/s}$$

$$u = \pi DN / 60$$

$$u = \pi * 4 * 285 / 60 = 59.7 \text{ m/s}$$

$$\lambda_0 = u/v_1 = 59.7/8.5 = 7.022$$

$$\therefore \lambda_0 > 5$$

من الجدول رقم (2) يمكن استخدام عدد من الريش يتراوح من 2 إلى 3 .
اقصى قدرة يتم الحصول عليها عندما :-

$$V = 2/3 V_1$$

$$V = 5.67 \text{ m/s}$$

من معادلة قدرة المقطع الانسيابي:-

$$P_{\max} = 0.2 d^2 V^3$$

فان اقصى قدرة دخل نظرية للتوربين هي :

$$P_{\max} = 9.11 \text{ W}$$

يمكن حساب زاوية الميل I لكل قيمة R من العلاقة :

$$\cot I = 3/2 \lambda$$

حيث : $\lambda = \lambda_0 \cdot r/R$

R = اقصى نصف قطر للدوار .

r = نصف القطر المراد حساب القيمة I عنده .

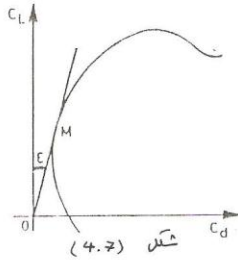
وبمعرفة I يمكن حساب زاوية الضبط α بالعلاقة :

$$i = I - \alpha$$

4.1.2 حساب الدفع المحوري والعزم:-

بتطبيق المعادلات الايروديناميكية علي جسيم في المدى من r ، وبعده $r+dr$ ، وبعد عدد من المعادلات المستنتجة فان :

$$\varepsilon = C_d/C_L$$



شكل رقم (4.7)

فان :

$$ClbI = 4 \pi r(h-1) \sin^2 I \cos \varepsilon / (h+1) \sin(I-\varepsilon)$$

حيث :

b = نطاق الريشة .

وبعد عدد من التعويضات نتحصل على القيم الاتية :

$$G = (1-K)/(1+K) = ClbI \cos(I-\varepsilon) / 8 \pi r \cos \varepsilon \sin^2 I$$

$$E = (h-1)/(h+1) = ClbI \sin(I-\varepsilon) / 4 \pi r \sin^2 I \cos \varepsilon$$

ويقسم المعادلتين G و E على بعضهما البعض نتحصل على :-

$$G/E = (1-K) (h+1) / (h-1) (1+K)$$

4.1.3 معامل القدرة الموضعي :

لحساب معامل القدرة الموضعي لدوار رياح حقيقي ، افترض ان دوار طاحونة رياح مثالي يمتلك عند لانهاى من الريش بدون قوة سحب اذا كان $C_d=0$ لكل مقطع فان $\tan \varepsilon=C_d/C_L=0$ تحت هذه الظروف ، فان المعادلة التي تعطى G/E يمكن اعطاؤها كالآتي :-

$$G/E = \cot^2 I = \lambda^2 (1+h)/(1+K)^2$$

وبعد التبسيط تصبح المعادلة

$$\lambda^2 = (1-K^2)/(h^2-1)$$

ومن هنا يمكن ايجاد ان :

$$h = (1+(1-K^2)/\lambda^2)^{0.5}$$

وبوضع قيم h في معادلة معامل القدرة الموضعي CP نجد ان :-

$$Cp = \lambda^2 (1+K) ((1+(1-K^2)/\lambda^2) - 1)^{0.5}$$

وبعد عدد من التعويضات نجد ان :-

$$\begin{aligned} \theta &= 1/3 \cos^{-1} (1/(\lambda^2 + 1))^{0.5} + \pi/3 \\ &= \tan^{-1} \lambda + \pi/3 \end{aligned}$$

وعليه فان لاي قيمة من قيم λ يمكن ان نحسب θ ، K وبالتالي قيمة CP القصوى .

4.1.4 القيم المثلى لزاوية الميلان والكمية $C_L b l$:

تم الحصول على المعادلات الآتية لزاوية الميلان l وللكمية $C_L b l$.

$$\begin{aligned} \cot I = \lambda e &= \lambda (1+h)/(1+K) \\ C_L b l &= 8 \pi r (1-K) \cos \varepsilon \sin^2 I / (1+K) \cos(1-\varepsilon) \end{aligned}$$

وبناء على النتائج للمعادلات السابقة فان معرفة الزاوية θ يقود الى تحديد قيم h, K

وبالتالي قيم λ و I .

ولحساب المقدار $C_L P I$ يجب ايضا اعتبار طاحونة رياح مثالية بدون قوة سحب للريش

($\varepsilon=0$) وتحت هذه الظروف ، فان التعبير $C_L P I / r$ يمكن كتابته كما يلي :-

$$C_L b l / r = 8 \pi (1-K) / (1+k) * (1/((\lambda e (\lambda e^2 + 1))^{0.5}))$$

تم بواسطة برنامج OPTI على الحاسوب ايجاد قيم λ_e ، K ، h ، C_p ، C_L PI و القيم المختلفة λ فيما بين 0.1 و 10 يتم توضيح القيم المتحصل عليها في جدول رقم (3) بالملاحق .

$$\begin{aligned} \text{حيث : } \lambda &= \lambda_0 r / R \\ &= 7 * 0.6 = 4.2 \\ \text{ومنها ايجاد القيمة التالية} \end{aligned}$$

$$\begin{aligned} C_p &= 0.585 \\ C_L PI / r &= 0.305 \\ I &= 8.928 \\ K &= 0.336 \\ h &= 1.025 \\ \lambda_e &= 6.365 \end{aligned}$$

وهكذا من الجدول تم التحصل على قيم المجاهيل ومن ثم تم تعويضها في المعادلات السابقة للحصول على قيم E ، G . ثم حساب قيمة عرض الريشة في كل حالة وحساب C_L عند كل قيمة من قيم r .

$$\begin{aligned} L &= 236.9 \text{mm} \\ b &= 51 \text{mm} \quad \text{عند الصرة} \\ b &= 20 \text{mm} \quad \text{عند الطرف} \end{aligned}$$

مع ملاحظة ان عرض الريشة يقل كلما اتجهنا الى طرف الريشة

$$\begin{aligned} (t/c) &= 15 \\ (x/c) &= 44 \end{aligned}$$

4.1.5 تصميم الريش مستطيلة المقطع :-

تم حساب وزن ريشة ذات مقطع انسيابي وبناء عليه تم تصميم الريش ذات المقطع المستطيل حيث تم اخذ نفس طول الريشة ذات المقطع الانسيابي .

$$L = 236.9 \text{mm}$$

مع اختلاف العرض ، ومن معادلة دوار الرياح بطئ التشغيل :-

$$P_{\max} = 0.15 D^2 V^3$$

وتم حساب اقصى قدرة متولدة حيث وجدت :-

$$P_{\max} = 6.8 \text{W}$$

4.1.6 تصنيع الريش :-

بعد عدة محاولات لاختيار مادة مناسبة لتصنيع الريش تم اختيار سبيكة الالمونيوم المستخدمة فى طباعة الصحف وذلك لسهولة تشكيلها للحصول على شكل الجسم الانسيابى المعقد . هذا الاختيار تم بعد المفاضلة بين سبيكة الالمونيوم ، خشب القفل والالياف الزجاجية . حيث نجد ان الالياف الزجاجية سهلة التشكيل ولكنها مكلفة وذات وزن كبير مقارنة بخشب القفل ، فى حين ان خشب القفل خفيف الوزن ولكنه صعب التشكيل لذلك تم اختيار الالمونيوم . نماذج الريش المصنعه موضحة فى ملحقات الصور الفوتغرافية رقم (1) ، (2) .

4.2.1 وصف جهاز الاختبار :-

يتكون جهاز الاختبار من مروحة سحب هواء مثبتة عند احد طرفى هيكل الجهاز بالموصفات الاتية قطرها 500mm وقدرتها 380w ومعدل انسيابها الحجمى $100m^3/min$. كما ان هنالك مقطع للاختبار عبارة عن محمل من الفولاذ الطرى يحمل عمودا من الفولاذ الطرى بقطر 10mm وبطول 100mm يحمل عددا من ريش الاختبار (ثلاثة او ستة ريش) مثبتة عليه بواسطة مسامير وصامولة للاحكام . يتم تصنيع هيكل الجهاز من الزوى مفاص $1\frac{1}{4}$ بواسطة تقنية اللحام بالابعاد التالية .

يتم تغطية مروحة السحب ومقطع الاختبار باسطوانه من سبيكة التوتيا الرقيقة وذلك لضمان استقرار سرعة الهواء التى يتم ضخها بواسطة المروحة .

4.2.2 عمل الجهاز .

يعمل الجهاز على سحب الهواء من الخارج وضخه فى اتجاه الاسطوانة التى تعمل على حصر الهواء فى اتجاه الريش ، وبذلك نضمن عدم وجود اى تاثير للهواء خارج الجهاز وبالتالي المحافظة على سرعة الرياح الناتجة من المصدر . شكل جهاز الاختبار موضح فى ملحق الصور الفوتغرافية رقم (3) .

4.2.3 تغيير زوايا الريش :-

يتم التحكم فى زوايا ريش الاختبار بواسطة مناقل صغيرة مثبتة اسفل كل ريشة مقسمة الى 9 تقسيمات فى المدى من صفر وحتى 90 درجة ويتم احكام المناقل بواسطة صاموله .

4.2.4 قياس القدرة :-

وجد أن انسب طريقة لقياس القدرة الناتجة مع اقل قدر من الفواقد الميكانيكية عن طريق مولد كهربائي صغير موصل مع الصره عن طريق عمود بقطر 10mm وموضوع على محمل واحد فقط بغرض تقليل فاقد الاحتكاك . يتم قطع قلووظ داخلى بقطر اكبر مقداره 5mm للعمود وذلك لربط المولد عليه . يتم توضيح المولد والعمود والريش على جهاز الاختبار فى ملحق الصور الفتوغرافية رقم (4) .

4.3 اجراءات الاختبار (Testing Procedures) :-

يمكن تلخيص اجراءات الاختبار التى يجب اتباعها فى النقاط التالية :-

- 1- اضبط زاوية السقوط لنماذج الريش المراد اختبارها واحكم ربطها .
- 2- استخدم تاكوميتر (Tachometer) لقياس سرعة دوران عمود الريش ، وجهاز فولتميتر (Voltmeter) لقياس الجهد المتولد بواسطة المولد الصغير .
- 3- يتم اخذ قراءة سرعة الدوران والجهد ثلاثة مرات خلال كل ضبط جديد لزاوية السقوط ، وبعد ذلك يتم تسجيل القيمة المتوسطة .
- 4- كرر الاجراءات اعلاه لكل ضبط جديد لزاوية السقوط لجميع الريش بنوعها فى المدى من 0 درجة وحتى 90 درجة .

الفصل الخامس

القراءات والنتائج

5-1 القراءات :-

الجداول (5-1-1) ، (5-1-2) ، (5-1-3) و (5-1-4) توضح القراءات التي تم الحصول عليها للمقطعين الانسيابي والمستطيل .

الجداول (5-1-1) و (5-1-2) توضح قراءات المقطع الانسيابي لعدد 3 و 6 ريش علي التوالي .

الجداول (5-1-3) و (5-1-4) توضح قراءات المقطع المستطيل لعدد 6 و 3 ريش علي التوالي .

الجهد (volt)	عدد اللغات في الدقيقة (rpm)	زاوية السقوط (DEG)
1.08	1065	0
1.68	1142	10
0.942	932	20
0.837	778	30
0.684	623	40
0.562	554	50
0.410	445	60
0.32	307	70
0.18	174	80
0.15	119	90

جدول رقم (5.1.1)

الجهد (volt)	عدد اللفات في الدقيقة (rpm)	زاوية السقوط (DEG)
0.544	480	0
0.818	690	10
0.724	515	20
0.585	445	30
0.476	360	40
0.384	310	50
0.310	287	60
0.262	221	70
0.175	175	80
0.098	105	90

جدول رقم (5-1-2)

الجهد (volt)	عدد اللفات في الدقيقة (rpm)	زاوية السقوط (DEG)
0.91	860	0
2.42	1280	10
1.68	1020	20
1.01	886	30
0.82	563	40
0.692	436	50
0.508	357	60
0.372	236	70
0.192	168	80
0.084	118	90

جدول رقم (5-1-3)

الجهد (volt)	عدد اللفات في الدقيقة (rpm)	زاوية السقوط (DEG)
0.402	300	0
0.871	700	10
0.81	540	20
0.713	430	30
0.693	405	40
0.527	335	50
0.413	268	60
0.302	237	70
0.241	170	80
0.001	55	90

جدول رقم (5-1-4)

5.2 عينة من كيفية اجراء الحسابات :-

باخذنا القراءات فى الجدول رقم (5.1.4)

$$\begin{aligned}i &= 10 \\ N &= 233 \text{ rpm} \\ v &= 0.871 \text{ volt}\end{aligned}$$

فان الكميات التالية يمكن حسابها

$$\begin{aligned}\omega &= 2 * 3.14 * 233 / 60 = 24.4 \text{ rad/s} \\ P &= V^2 / R \\ R &= 1.5 \text{ OHM}\end{aligned}$$

حيث R مقاومة ثابتة .

$$\begin{aligned}P &= T * \omega \\ P &= 0.871^2 / 1.5 \\ &= 0.51 \text{ watt} \\ T &= P / \omega \\ &= 0.51 / 24.4 = 0.021 \text{ N.m} \\ F_L &= T / R = 0.021 / 0.125 = 0.71 \text{ N}\end{aligned}$$

حيث:

F_L قوة الرفع

R نصف القطر المتوسط لدائرة الريشة .

$$\begin{aligned}F_L &= T / bR \\ &= 0.17 / 0.237 = 0.72 \text{ N/m}\end{aligned}$$

حيث :

F_L قوة الرفع لكل وحدة نطاق .

$$\begin{aligned}F_{\text{max/unit span}} &= 4/9 \rho V^2 * L \\ &= 4/9 * 1.25 * 8.5^2 * 0.02 \\ &= 0.8 \text{ N} \\ C_L &= F_L / F_{\text{max}} \\ &= 0.72 / 0.8 \\ &= 0.9 \\ P_i &= 0.2 D^2 V^3\end{aligned}$$

حيث : P_i = قدرة الدخل

D = قطر الدوار

V = سرعة الهواء خلال الدوار

$$V=2/3V_1=2/3*8.5=5.67\text{m/s}$$

$$P_i=0.2*0.5^2*5.67^3=9.1\text{watt}$$

$$\zeta=0.51/9.1*100\%=5.6\%$$

حيث : ζ =الكفاءة .

5.3 النتائج Results:-

الجدول (5.3.1) و(5.3.2) في الملاحق توضح النتائج المحسوبة من القراءات لمقطع انسيابي ومقطع مستطيل يتكون من عدد 3 ريش على الترتيب .

5.4 التعليق على المخططات وتحليل النتائج :-

5.4.1 الريش الانسيابية المقطع :-

5.4.1.1 مخطط زاوية السقوط ضد الكفاءة :-

ملحق الشكل رقم (5.4.1) . يوضح الخط ان الكفاءة تزيد زيادة حادة بزيادة زاوية السقوط حتى تصل الى أقصى قيمة عند 10° بعد ذلك تنخفض تدريجيا على ثلاثة مراحل في مدى واسع لزاوية السقوط من 10° الى 90° .

5.4.1.2 مخطط زاوية السقوط ضد معامل الرفع :-

ملحق مخطط شكل رقم (5.4.2) يوضح المخطط ان معامل الرفع يزيد بزيادة زاوية السقوط بمدى صغير حتى 1.13 عند زاوية سقوط مقدارها 10° ثم يبدأ فى الانخفاض تدريجيا في مدى واسع حتى 70° ثم يبدأ مرة أخرى في الارتفاع تدريجيا .

5.4.2 الريش مستطيلة المقطع :-

5.4.2.1 مخطط زاوية السقوط ضد الكفاءة (ملحق شكل رقم (5.4.3)) :-

يوضح هذا المخطط ان الكفاءة الايروديناميكية تزيد زيادة حاده بزيادة زاوية السقوط وذلك في مدى صغير حتى تصل في أقصى قيمة لها عند زاوية سقوط مقدارها 10° ثم تبدأ فى الانخفاض بحدده حتى زاوية سقوط مقدارها 20° وتبدأ في الارتفاع قليلا في مدى صغير للكفاءة حتى 30° ثم تنخفض تدريجيا حتى زاوية مقدارها 90° .

5.4.2.2 مخطط زاوية السقوط ضد معامل الرفع :- (ملحق شكل رقم (5.4.4))

يزيد معامل الرفع بحدده في مدى صغير لزاوية السقوط حتى يصل إلى أقصى قيمه له وهى 0.95 عند زاوية سقوط مقدارها 10° ثم يبدأ في الانخفاض الحاد حتى زاوية سقوط مقدارها 20° ثم يرتفع قليلا في مدى صغير حتى 30° ثم يبدأ في الانخفاض تدريجيا حتى أدنى قيمه له وهى 0.072 عند 90° .

الفصل السادس

6.0 الخاتمة والتوصيات

6.1 الخاتمة :-

العامل المشترك في جميع الماكينات الديناميكية الدوارة هو انه يتم تغذية المائع الى العجلة او العنصر الدوار باستمرار بحث يكون لها مكونة سرعة مماسية (سرعة تدويم) حول محور العمود عند دخولها الى العجلة وخروجها نصف قطريا او محوريا فاقدة كمية حركتها ومسببه عزم على الدوار في هذا الاجراء .

في هذه التجربة فان الطاقة الايروديناميكية للمائع التي يتم امددها الى الدوار يتم تحويلها بواسطة ثلاثة ريش انسيابية او مستطيلة المقطع الى طاقة حركة ، وهذا يحدث نتيجة لفرق الضغط العالي الناشئ نتيجة لشكل الريشة وضبط زاوية السقوط ، هذا الفعل ينتج قوة على العمود وعزم على الريشة . من القراءات الماخوذة والمخططات المقابلة لها الموضحة في الفصل الخامس ان الريش ذات المقطع المستطيل تعطى اقصى قدرة مقارنة بالريش ذات المقطع الانسيابي هذا يحدث نتيجة لتحرك نقطة الانفصال كثيرا الى الامام مما يساعد على توليد ضغط معاكس .

6.2 التوصيات :-

نوصى بالعمل على تصميم وتصنيع جهاز نفق هوائى (Wind Tunnel) بالمواصفات القياسية المتعارف عليها وذلك لتلافى عيوب جهاز الاختبار ، حيث انه وفي محاولتنا لتقليل لثقائد الاحتكاك قمنا باسناد العمود على محمل واحد فقط مما ادى هذا لحدوث تحميل على جلبة المولد وبالتالي نشؤ فواقد احتكاك .

نوصى ايضا بالعمل على توفير اجهزة قياس دقيقة مثل اجهزة قياس قوة الرفع والسحب وقياس سرعة الرياح .

نوصى ايضا باستخدام الالياف الزجاجية في تصنيع الريش، لتفادى نشوهات شكل الريشة التي ظهرت لنا جابيا خلال اجراء الاختبار .

واخيرا نوصى باستمرار البحث في هذا المجال الثر والمفيد وذلك حتى نتمكن فعليا من الاستفادة القصوى من طاقة الرياح المتوفرة في السودان .

المراجع

1/ L.L FRERIS, 1990, WIND ENERGY CONVERSION, Third Edition,
PRENTICE HALL.

2/ J.F. DOUGLAS, 1987, SOLVING PROBLEMS IN FLUID
MECHANICS, Second Edition, LONGMAN SINGAPORE
PUBLISHERS (PTE) Ltd.

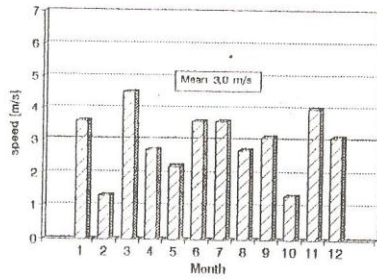
3/ D.J. Tritton, 1986, Physical Fluid Dynamics. Second Edition, Van
Norstand Reinhold (UK) Ltd.

الملاحق

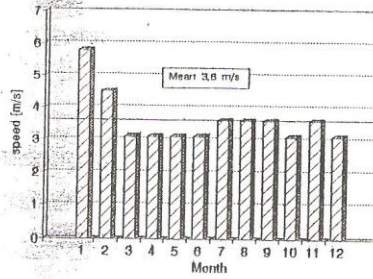
WINDSPEED - STATION KHARTOUM

(base of Sudan Meteorological Department)

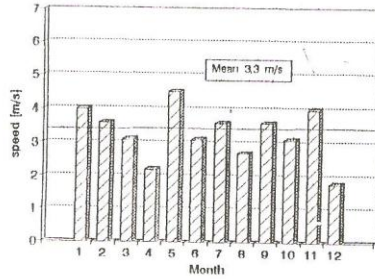
year 1988



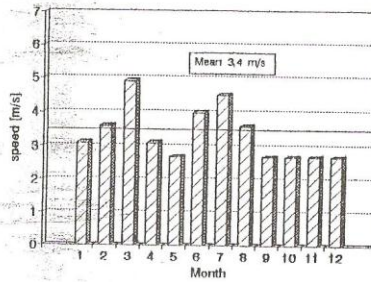
year 1989



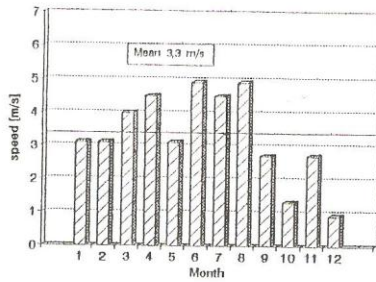
year 1990



year 1991

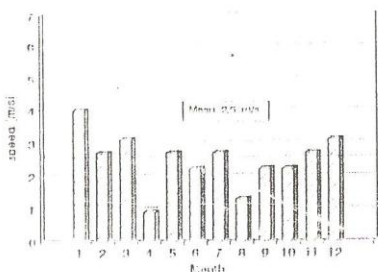


year 1992

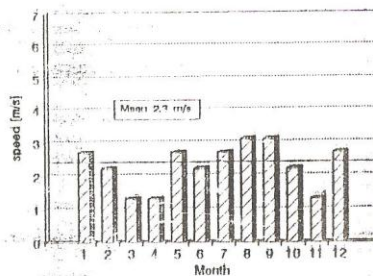


WINDSPEED STATION ATRARA (base of Sudan Meteorological Department)

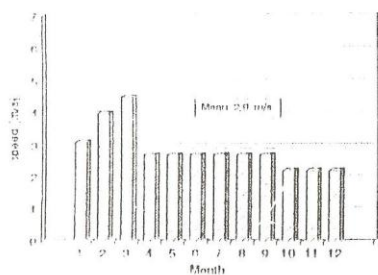
year 1988



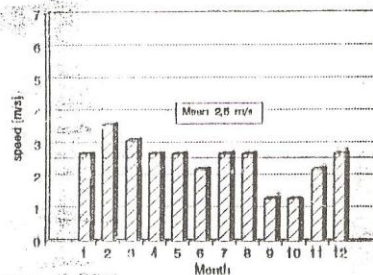
year 1989



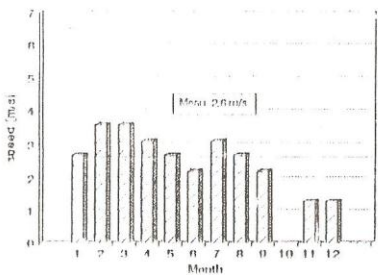
year 1990



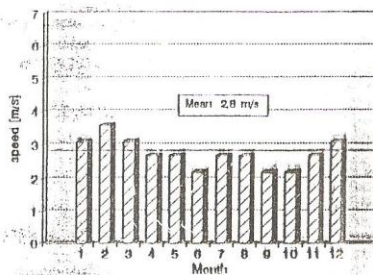
year 1991



year 1992



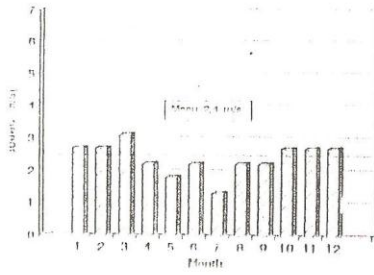
years 1961 - 1990



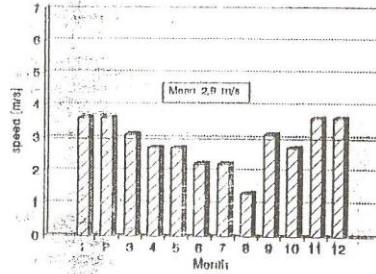
WINDSPEED STATION NYALA

(base of Sudan Meteorological Department)

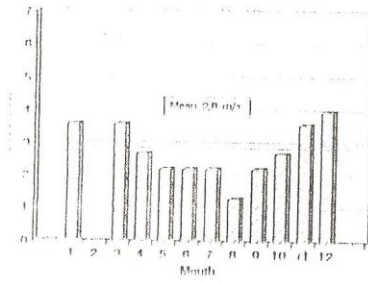
year 1988



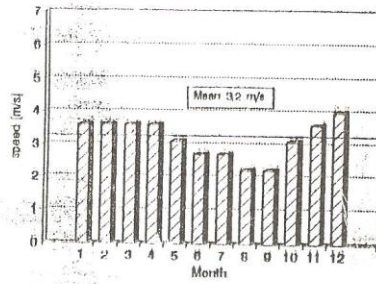
year 1989



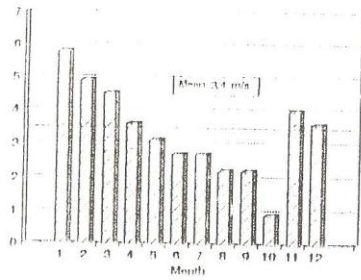
year 1990



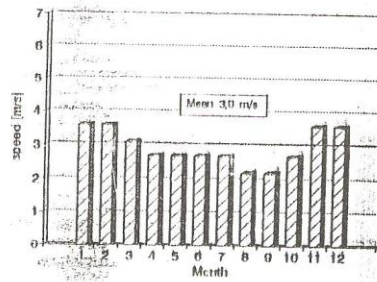
year 1991



year 1992



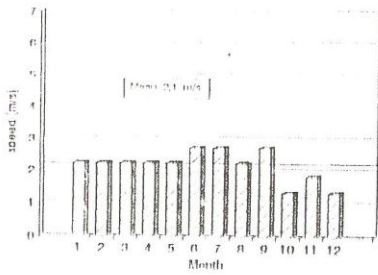
years 1961 - 1990



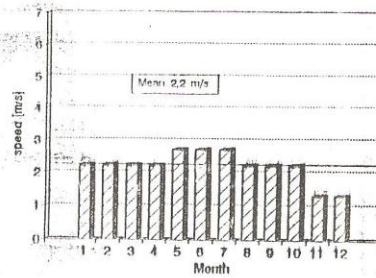
WINDSPEED - STATION EL FASHER

(base of Sudan Meteorological Department)

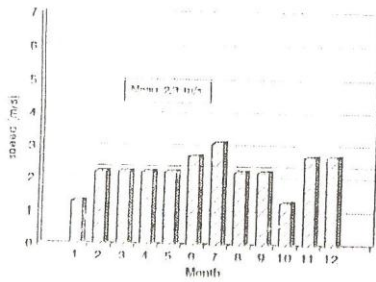
year 1988



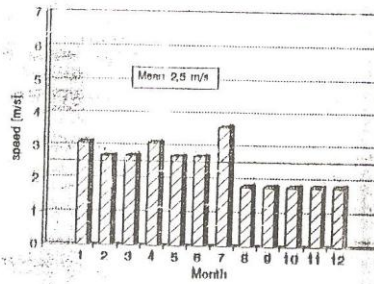
year 1989



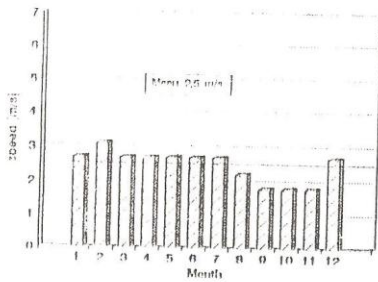
year 1990



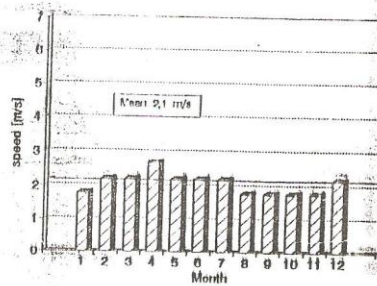
year 1991



year 1992

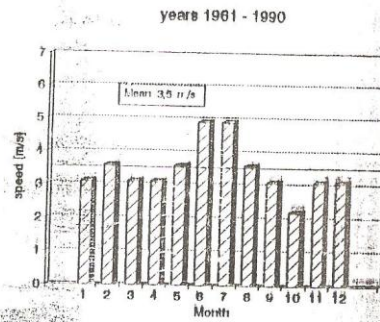
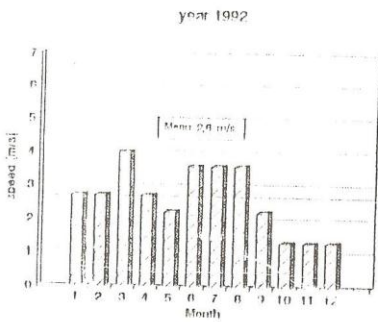
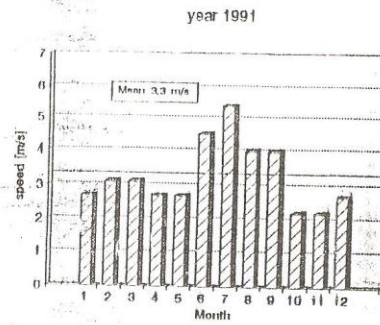
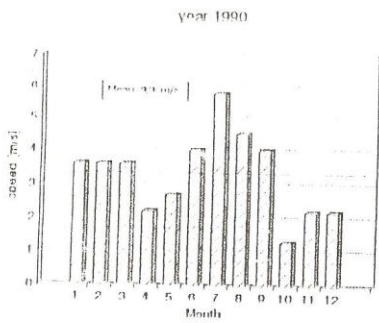
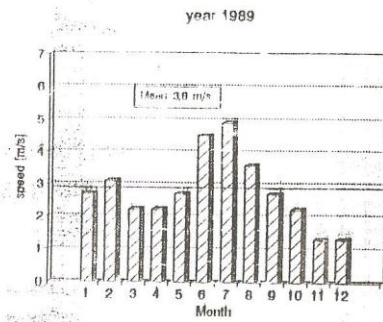
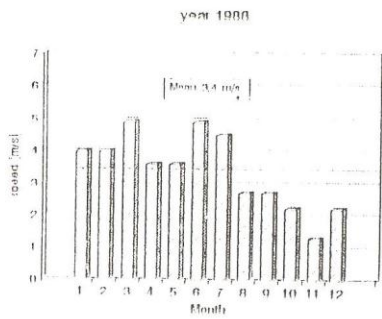


years 1981 - 1990



WIND SPEED AT STATION WAD MEDANI

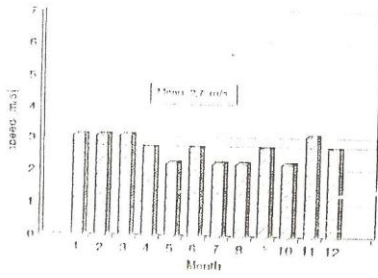
(base of Sudan Meteorological Department)



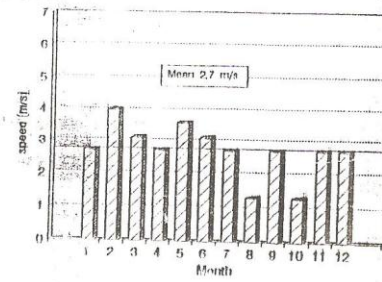
WINDSPEED STATION GEDARIF

(base of Sudan Meteorological Department)

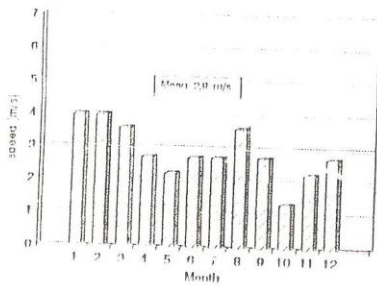
year 1988



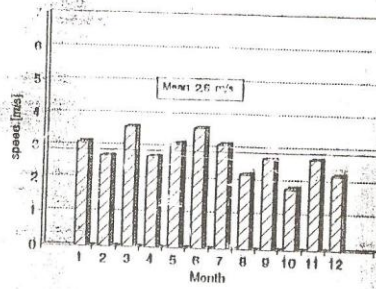
year 1989



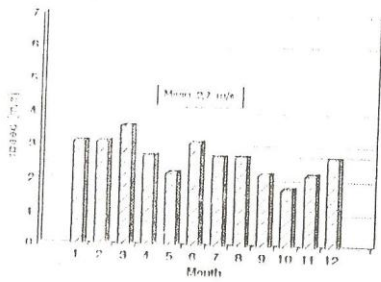
year 1990



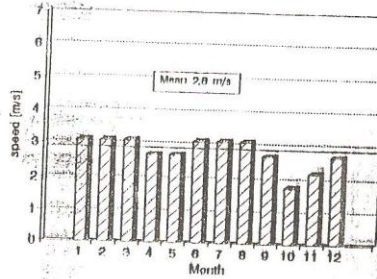
year 1991



year 1992



years 1961 - 1990



WINDSPEED STATION PORT SUDAN

(base of Sudan Meteorological Department)

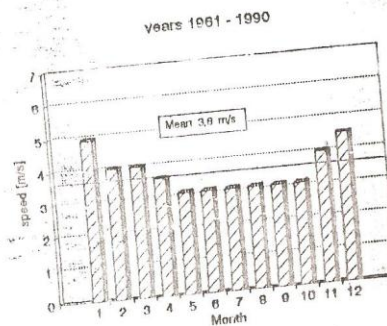
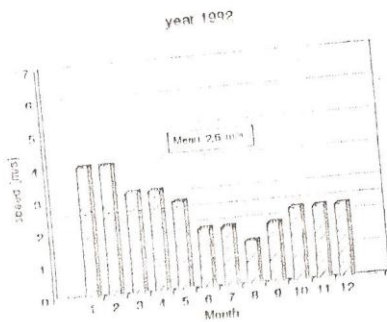
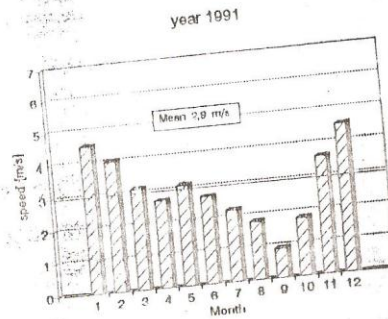
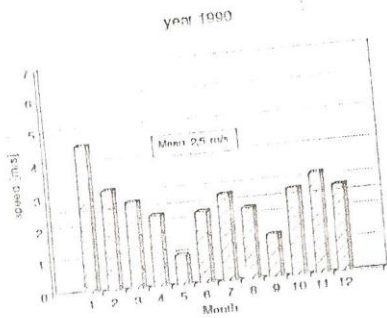
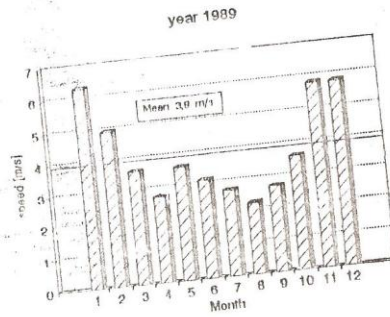
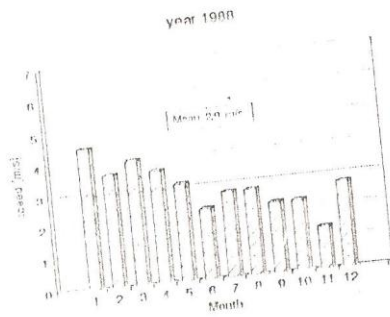




Figure 1.1 Mod 0A

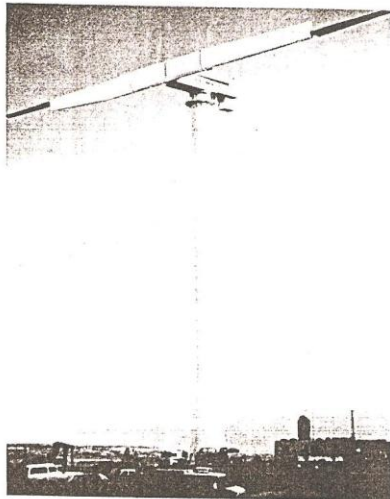


Figure 1.2 Boeing Mod 2

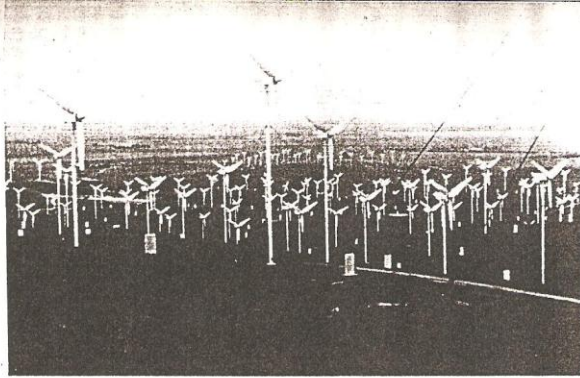


Figure 1.4 Wind farm, Altamont Pass, California, USA

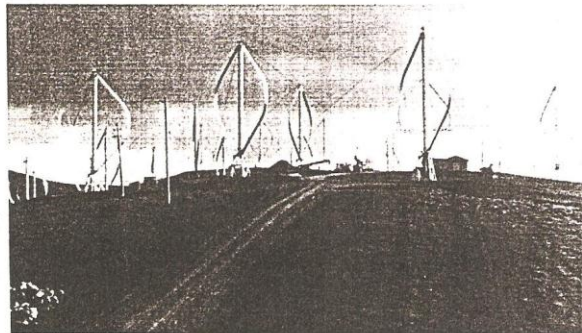


Figure 1.5 Wind farm, Altamont Pass, California, USA

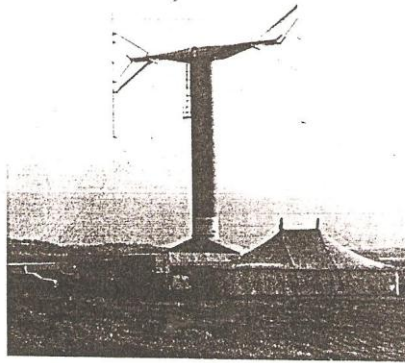


Figure 1.6 McAlpine, variable geometry turbine

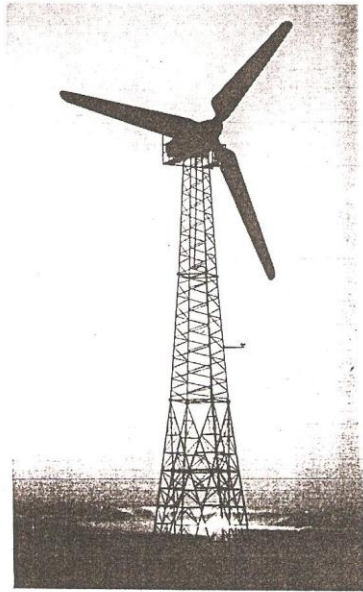


Figure 1.3 Vestas 15 m

TABLE (1)

Diameter in m	Rotational speed in r.p.m		Max. Power in kW	
	V = 7 m/s	V = 10 m/s	V = 7 m/s	V = 10 m/s
1	935	1 340	0.07	0.2
2	470	670	0.27	0.8
3	310	450	0.60	1.8
4	235	335	1.07	3.2
5	190	270	1.7	5
6	155	220	2.4	7.2
8	120	168	4.4	12.8
10	95	134	6.7	20
15	62	90	15	45
20	47	67	26.8	80
30	31	45	60	180
40	23	33	107	320
50	19	27	168	500

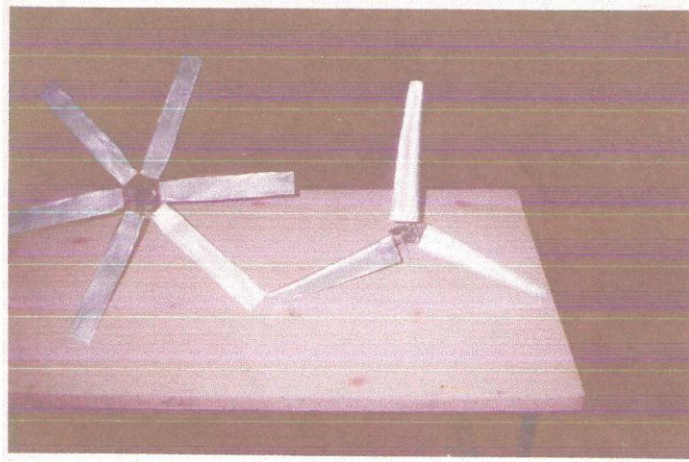
جدول (3.2)

يوضح العلاقة بين نسبة السرعة الطرفية وعدد الريش

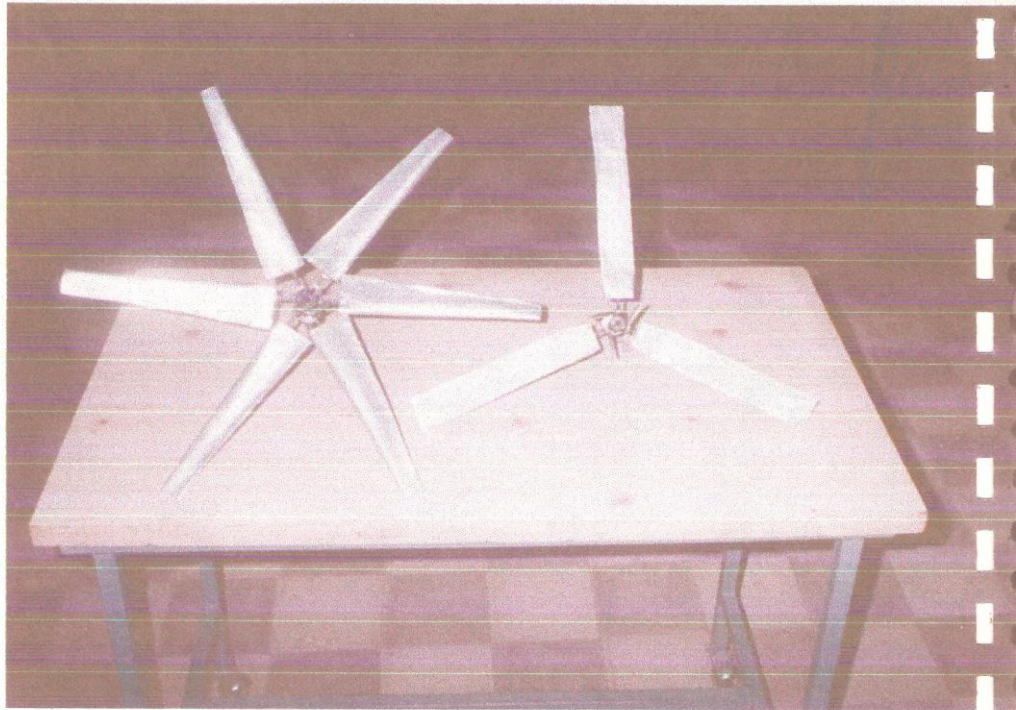
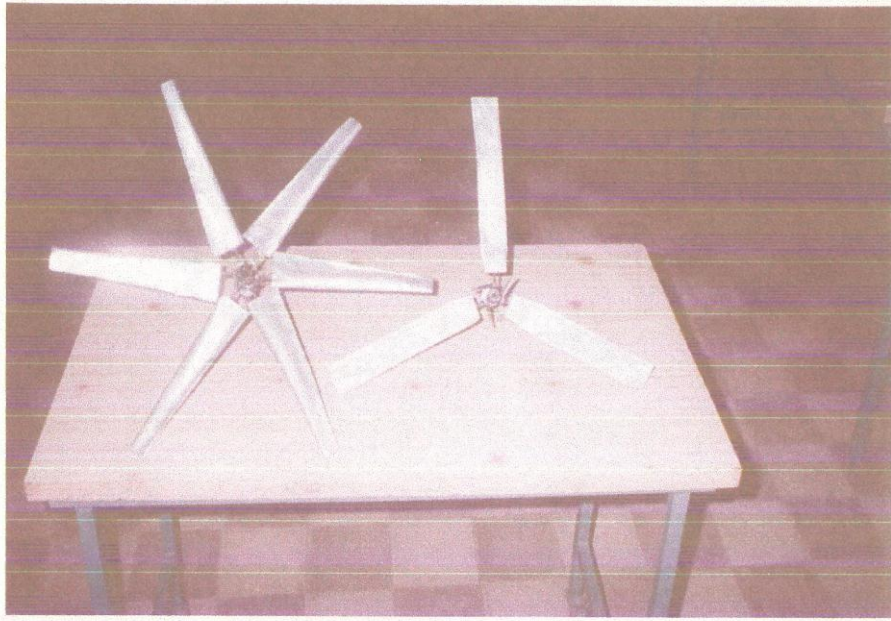
TIP SPEED RATIO (λ_0)	NUMBER OF BLADES
1	8 to 24
2	6 to 12
3	3 to 6
4	2 to 4
> 5	2 to 3

TABLE (2)
Optimum values of the running parameters as a function of λ

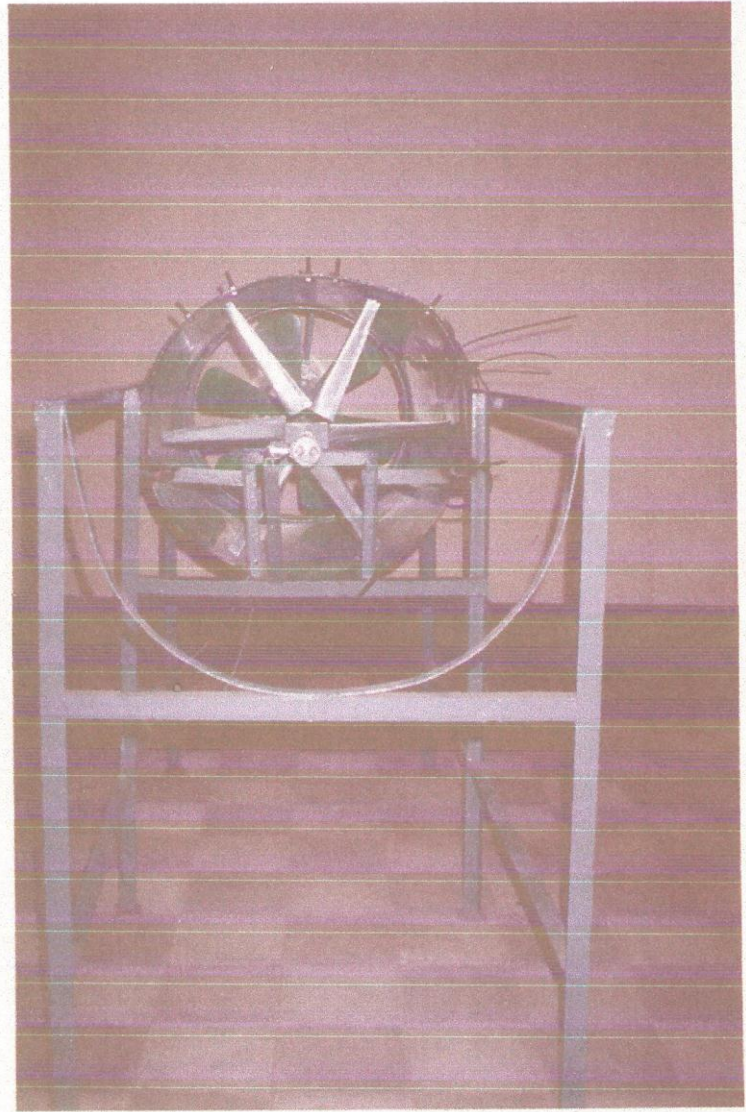
λ	λ_c	λ	h	C_p	$C_{bl/r}$	I	λ	λ_c	k	h	C_p	$C_{bl/r}$	I
0.100	0.670	0.473	8.886	0.116	11.149	56.193	3.000	7.555	0.335	1.018	0.587	0.217	7.540
0.200	0.768	0.493	8.574	0.207	9.489	52.460	3.100	7.555	0.335	1.018	0.588	0.217	7.396
0.300	0.873	0.416	8.168	0.416	8.600	48.867	3.200	7.883	0.335	1.016	0.588	0.201	7.257
0.400	0.984	0.350	7.686	0.350	7.500	45.466	3.300	8.002	0.335	1.015	0.588	0.187	7.122
0.500	1.099	0.303	7.086	0.381	6.541	42.290	3.400	8.300	0.335	1.015	0.588	0.180	6.870
0.600	1.219	0.274	6.380	0.416	5.700	39.358	3.500	8.449	0.335	1.014	0.588	0.174	6.750
0.800	1.470	0.254	4.835	0.447	4.975	36.672	3.600	8.598	0.335	1.013	0.589	0.168	6.634
1.000	1.660	0.237	3.437	0.465	4.333	34.227	3.700	8.747	0.335	1.013	0.589	0.163	6.522
1.200	1.732	0.236	2.606	0.500	3.867	32.000	3.800	8.897	0.335	1.013	0.589	0.157	6.413
1.400	1.806	0.236	2.131	0.512	3.490	30.000	3.900	9.046	0.335	1.012	0.589	0.152	6.308
1.600	1.880	0.239	1.827	0.512	3.240	28.183	4.000	9.195	0.335	1.012	0.589	0.147	6.207
1.800	1.940	0.238	1.582	0.531	3.048	26.537	4.100	9.344	0.335	1.011	0.589	0.143	6.108
2.000	2.000	0.238	1.382	0.531	2.903	25.046	4.200	9.494	0.335	1.011	0.589	0.138	6.013
2.200	2.050	0.237	1.230	0.544	2.718	23.692	4.300	9.643	0.335	1.011	0.589	0.134	5.920
2.400	2.100	0.237	1.159	0.544	2.596	22.460	4.400	9.792	0.334	1.010	0.589	0.130	5.831
2.600	2.150	0.237	1.103	0.559	2.483	21.337	4.500	9.942	0.334	1.010	0.590	0.126	5.744
2.800	2.200	0.238	1.059	0.576	2.384	20.310	4.600	10.091	0.334	1.010	0.590	0.122	5.659
3.000	2.250	0.239	1.035	0.578	2.300	19.370	4.700	10.241	0.334	1.010	0.590	0.119	5.577
3.200	2.300	0.240	1.015	0.578	2.230	18.506	4.800	10.390	0.334	1.009	0.590	0.116	5.498
3.400	2.350	0.240	1.005	0.563	2.180	17.710	4.900	10.539	0.334	1.009	0.590	0.112	5.420
3.600	2.400	0.241	1.005	0.565	2.140	16.976	5.000	10.689	0.334	1.009	0.590	0.109	5.345
3.800	2.450	0.241	1.008	0.568	2.110	16.296	5.100	10.838	0.334	1.009	0.590	0.106	5.271
4.000	2.500	0.241	1.008	0.571	2.094	15.666	5.200	10.988	0.334	1.008	0.590	0.103	5.200
4.200	2.550	0.241	1.008	0.571	2.083	15.083	5.300	11.137	0.334	1.008	0.590	0.101	5.131
4.400	2.600	0.240	1.003	0.574	2.079	14.554	5.400	11.287	0.334	1.008	0.590	0.098	5.063
4.600	2.650	0.240	1.035	0.576	2.084	14.083	5.500	11.436	0.334	1.008	0.590	0.096	4.997
4.800	2.700	0.239	1.035	0.578	2.091	13.666	5.600	11.586	0.334	1.007	0.590	0.093	4.933
5.000	2.750	0.239	1.035	0.578	2.100	13.300	5.700	11.736	0.334	1.007	0.590	0.091	4.871
5.200	2.800	0.239	1.048	0.578	2.115	12.988	5.800	11.885	0.334	1.007	0.590	0.088	4.810
5.400	2.850	0.239	1.048	0.580	2.130	12.700	5.900	12.034	0.334	1.007	0.591	0.086	4.750
5.600	2.900	0.239	1.045	0.580	2.147	12.438	6.000	12.184	0.334	1.007	0.591	0.084	4.692
5.800	2.950	0.238	1.042	0.581	2.164	12.199	6.100	12.334	0.334	1.007	0.591	0.082	4.635
6.000	3.000	0.238	1.042	0.581	2.181	11.976	6.200	12.484	0.334	1.006	0.591	0.080	4.580
6.200	3.050	0.238	1.038	0.582	2.198	11.766	6.300	12.634	0.334	1.006	0.591	0.078	4.526
6.400	3.100	0.237	1.038	0.582	2.215	11.566	6.400	12.784	0.334	1.006	0.591	0.075	4.472
6.600	3.150	0.237	1.034	0.583	2.232	11.376	6.500	12.934	0.334	1.006	0.591	0.073	4.418
6.800	3.200	0.237	1.032	0.583	2.249	11.199	6.600	13.084	0.334	1.006	0.591	0.071	4.364
7.000	3.250	0.237	1.032	0.584	2.266	11.035	6.700	13.234	0.334	1.006	0.591	0.070	4.310
7.200	3.300	0.236	1.027	0.585	2.283	10.883	6.800	13.384	0.334	1.005	0.591	0.068	4.256
7.400	3.350	0.236	1.025	0.585	2.300	10.742	6.900	13.534	0.334	1.005	0.591	0.066	4.202
7.600	3.400	0.236	1.024	0.586	2.317	10.612	7.000	13.684	0.334	1.005	0.591	0.065	4.148
7.800	3.450	0.236	1.022	0.586	2.334	10.492	7.100	13.834	0.334	1.005	0.591	0.063	4.094
8.000	3.500	0.236	1.022	0.586	2.351	10.382	7.200	13.984	0.334	1.005	0.591	0.061	4.040
8.200	3.550	0.236	1.021	0.586	2.368	10.282	7.300	14.134	0.334	1.005	0.591	0.060	3.986
8.400	3.600	0.236	1.021	0.586	2.385	10.192	7.400	14.284	0.334	1.005	0.591	0.059	3.932
8.600	3.650	0.236	1.020	0.587	2.402	10.112	7.500	14.434	0.334	1.005	0.591	0.058	3.878
8.800	3.700	0.236	1.019	0.587	2.419	10.042	7.600	14.584	0.334	1.005	0.591	0.057	3.824
9.000	3.750	0.235	1.018	0.587	2.436	9.980	7.700	14.734	0.334	1.004	0.591	0.055	3.807



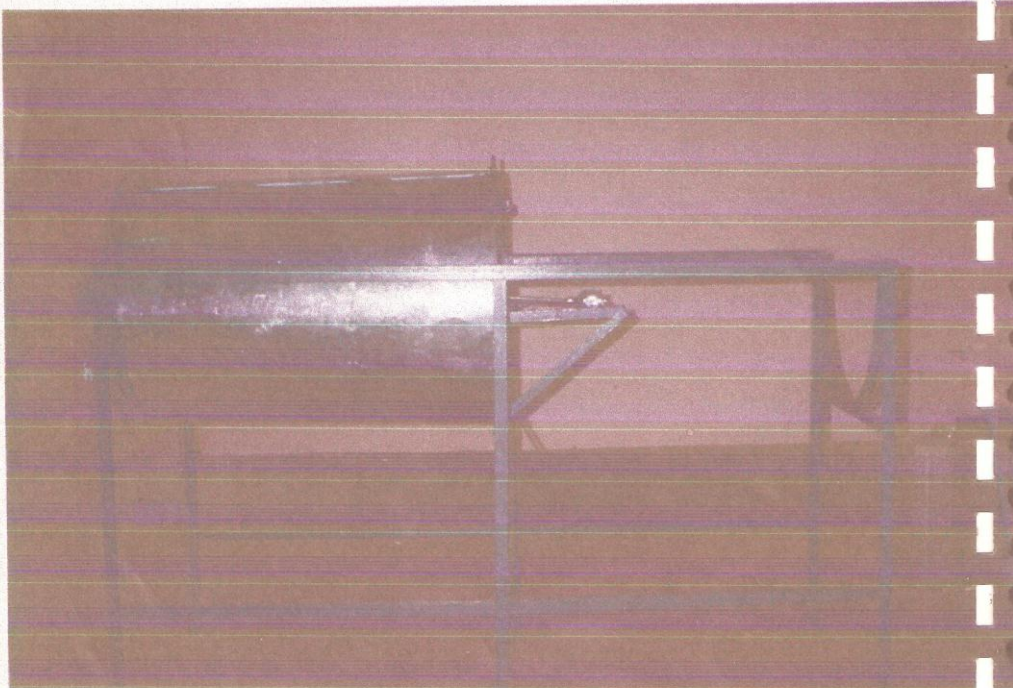
شکل (۱) مندرجہ ذیل



شوره (2)



صورة (3)



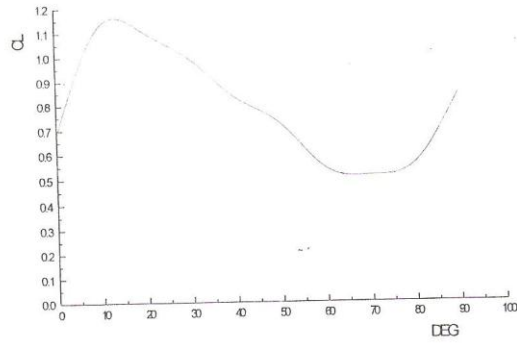
منوره (4)

جدول () يوضح نتائج قراءات 3 ريش انسيابية المقطع.

DEG (i)	rpm	POWER (W)	EFFICIENCY%	C _L
0	101	0.17	1.9	0.68
10	233	0.63	6.9	1.13
20	180	0.54	5.9	1.10
30	143	0.44	4.8	0.99
40	135	0.42	4.6	0.83
50	112	0.20	2.2	0.72
60	89	0.11	1.2	0.54
70	79	0.10	1.1	0.51
80	57	0.08	0.01	0.56
90	18	0.04	0.004	0.85

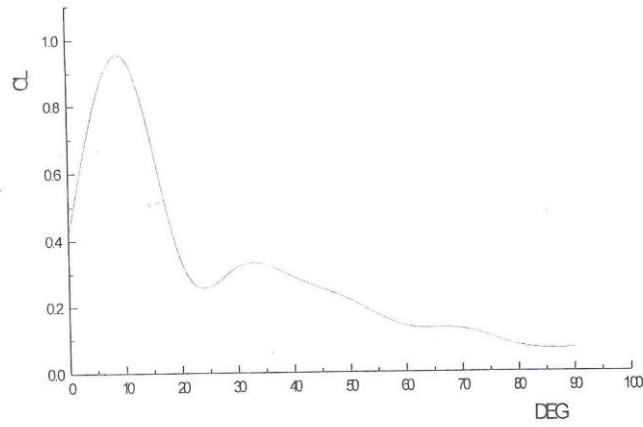
جدول () يوضح نتائج قراءات 3 ريش مستطيلة المقطع.

DEG (i)	rpm	POWER (W)	EFFICIENCY%	C _L
0	355	0.77	11.3	0.42
10	381	1.9	27.9	0.95
20	362	0.6	8.8	0.34
30	259	0.46	6.7	0.32
40	208	0.31	4.6	0.29
50	185	0.21	3.1	0.22
60	149	0.11	1.6	0.14
70	103	0.068	0.1	0.13
80	58	0.023	0.003	0.08
90	40	0.015	0.002	0.07



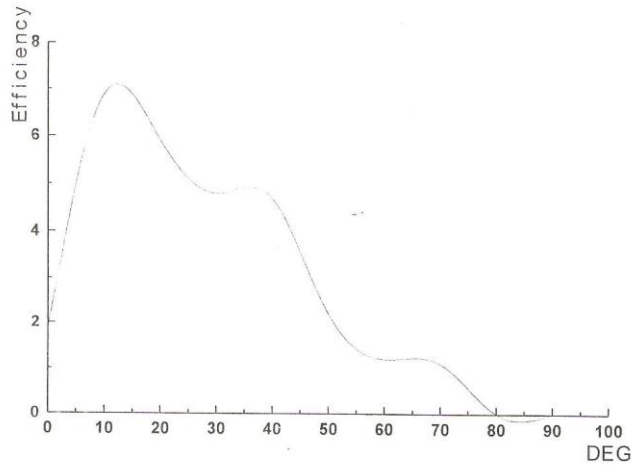
شكل رقم (5.4.2)

منحنى يوضح زاوية السقوط ضد معامل الرفع لعدد 3 ريش انسيابية المقطع



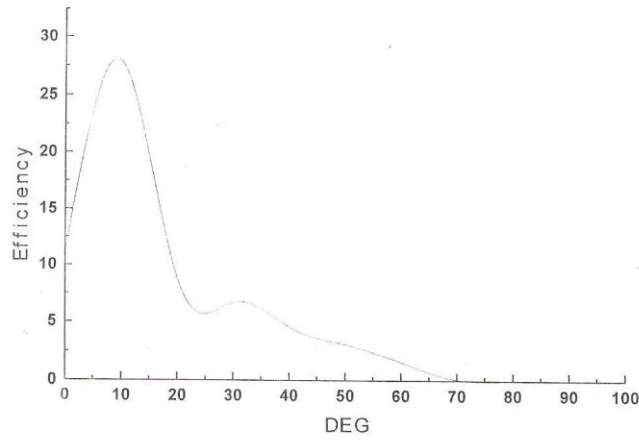
شكل رقم (5.4.4)

منحنى يوضح زاوية السقوط ضد معامل الرفع لعدد 3 ريش مستطيلة المقطع



شكل رقم (5.4.1)

منحنى يوضح زاوية السقوط ضد الكفاءة لعدد 3 ريش انسيابية المقطع



شكل رقم (5.4.3)

منحنى يوضح زاوية السقوط ضد الكفاءة لعدد 3 ريش مستطيلة المقطع

